

УДК 539.143

ДВУХКВАЗИЧАСТИЧНЫЕ
И ОДНОФОНОННЫЕ СОСТОЯНИЯ
ЧЕТНО-ЧЕТНЫХ
ДЕФОРМИРОВАННЫХ ЯДЕР
В ОБЛАСТИ АКТИНОИДОВ

*С. П. Иванова,
А. Л. Комов, Л. А. Малов,
В. Г. Соловьев*

Объединенный институт ядерных
исследований, Дубна

На основе полумикроскопического подхода дано описание низколежащих двухквазичастичных и однофононных состояний четно-четных ядер в широкой области актиноидов ($228 \leq A \leq 260$). Изучалась роль антармонических эффектов и показано, что в ряде случаев двухфононные компоненты дают большой вклад в структуру первых и вторых вибрационных состояний. Проведен анализ экспериментальных данных и сравнение с результатами теоретических расчетов.

In the framework of the semimicroscopical approach a description is given for the low-lying two-quasiparticle and one-phonon states of doubly even nuclei in the wide range of actinides ($228 \leq A \leq 260$). The anharmonicity effects are studied and the two-phonon components are shown, in a number of cases, to give a large contribution to the structure of the first and second vibrational states. The experimental data are analysed and compared with the theoretical results.

ВВЕДЕНИЕ

Современный этап развития ядерной физики — это период накопления экспериментальных данных, их осмысливания и сравнения с результатами расчетов, выполненных разными полумикроскопическими методами. Работы по определению характеристик основных и все более и более возбужденных состояний атомных ядер продолжают занимать в ядерной физике центральное место. В настоящее время уже накоплено много экспериментальных данных, связанных с изучением низколежащих состояний большого числа ядер, α -, β -, γ -переходов и сечений прямых ядерных реакций. Особенно обширными являются экспериментальные данные в области деформированных ядер. Имеющийся экспериментальный материал собран в работах [1—3], а для ряда ядер, как, например, для $A = 182$ [4] и других в области $150 \leq A \leq 190$ [5], он тщательно проанализирован.

Развитые в настоящее время полумикроскопические методы теоретической ядерной физики — это базис для вычисления характеристик низколежащих состояний атомных ядер (см., например, работы [6—8]). Вычисленные энергии и структура низколежащих неротационных состояний четно-четных ядер в области $150 \leq A \leq 190$ и сравнение их с экспериментом даны в работах [5, 9] и других работах.

Вычисление двухквазичастичных и однофононных состояний четно-четных деформированных ядер в области актиноидов с одиночными энергиями и волновыми функциями потенциала Нильссона выполнено в работе [10], а с одиночным потенциалом Саксона — Вудса — в работе [11]. Получено достаточно хорошее описание неротационных состояний нечетных деформированных ядер. Однако опубликована только небольшая часть результатов расчетов состояний ядер в области актиноидов [12, 13].

Представляется целесообразным привести теоретические значения энергий и волновых функций неротационных состояний четно-четных ядер в области актиноидов и сравнить их с экспериментальными данными. Выполнению этой задачи посвящается настоящая статья.

1. ТРАКТОВКА ДВУХКВАЗИЧАСТИЧНЫХ И ОДНОФОНОННЫХ СОСТОЯНИЙ

Приведем основные формулы, используемые для описания двухквазичастичных и однофононных состояний в четно-четных деформированных ядрах. Ядерный модельный гамильтониан запишем в следующем виде:

$$H = H_{av} + H_{pair} - \sum_{\lambda, \mu \geq 0} \kappa^{(\lambda)} Q_{\lambda\mu}^+ Q_{\lambda\mu}^- / 2, \quad (1)$$

где H_{av} — среднее поле протонной и нейтронной систем, описываемое потенциалом Саксона — Вудса; H_{pair} — взаимодействия, приводящие к парным корреляциям сверхпроводящего типа; последний член в (1) описывает мультиполь-мультипольное взаимодействие.

Для описания двухквазичастичных состояний используется только часть гамильтониана (1), а именно:

$$H_0 = H_{av} + H_{pair} = H_0(n) + H_0(p), \quad (2)$$

где для нейтронной системы

$$H_0(n) = \sum_{so} \{E(s) - \lambda_n\} a_{so}^+ a_{so}^- - G_N \sum_{ss'} a_{s+}^+ a_{s-}^- a_{s'-}^- a_{s'+}^-. \quad (3)$$

Здесь $E(s)$ — одиночественные энергии; a_{so} — оператор уничтожения нуклона; G_N — константа парного взаимодействия; λ_n —

химический потенциал нейтронной системы. В протонной системе константу парного взаимодействия и химический потенциал обозначим G_z и λ_p . Совокупность квантовых чисел, характеризующих одиночественное состояние нейтронной системы, обозначим $(s\sigma)$, нейтронной и протонной систем — $(q\sigma)$, причем $\sigma = \pm 1$.

Проведем каноническое преобразование Боголюбова:

$$a_{s\sigma} = u_s \alpha_{s-\sigma} + v_s \alpha_{s\sigma}^+, \quad (4)$$

где $\alpha_{s\sigma}$ — оператор поглощения квазичастицы;

$$u_s^2 + v_s^2 = 1. \quad (5)$$

Волновую функцию основного состояния системы определим из условия

$$\alpha_{s\sigma} \Psi_0 = 0. \quad (6)$$

Найдем среднее значение $H_0(n)$ по состоянию Ψ_0 , воспользуемся вариационным принципом и в результате (см. работы [8]) получим следующую систему уравнений для определения корреляционной функции C_n и химического потенциала λ_n :

$$1 = \frac{G_N}{2} \sum_s \frac{1}{\sqrt{C_n^2 + (E(s) - \lambda_n)^2}}; \quad (7)$$

$$N = \sum_s \left\{ 1 - \frac{E(s) - \lambda_n}{\sqrt{C_n^2 + (E(s) - \lambda_n)^2}} \right\}, \quad (8)$$

где N — число нейтронов.

Энергия и волновая функция основного состояния системы имеют следующий вид:

$$\mathcal{E}_0 = \sum_s 2E(s) v_s^2 - C_n^2 / G_N; \quad (9)$$

$$\Psi_0 = \prod_s (u_s + v_s a_{s+}^+ a_{s-}^+) \Psi_{00}, \quad (10)$$

где

$$a_{s\sigma} \Psi_{00} = 0; \quad \varepsilon(s) = \sqrt{C_n^2 + [E(s) - \lambda_n]^2}; \quad (11)$$

$$u_s^2 = \{1 + [E(s) - \lambda_n]/\varepsilon(s)\}/2; \quad v_s^2 = \{1 - [E(s) - \lambda_n]/\varepsilon(s)\}/2. \quad (12)$$

В модели независимых квазичастиц возбужденные состояния четно-четных ядер являются двухквазичастичными. При более высоких энергиях возбуждения имеются четырехквазичастичные состояния и т. д.

Волновая функция двухквазичастичного состояния с $K^\pi \neq 0^+$ имеет вид

$$\Psi_0(s_1, s_2) = a_{s_1\sigma_1}^+ a_{s_2\sigma_2}^+ \prod_{s \neq s_1, s_2} \{u_s(s_1, s_2) + v_s(s_1, s_2) a_{s+}^+ a_{s-}^+\} \Psi_{00}. \quad (13)$$

Корреляционная функция $C_n(s_1, s_2)$ и химический потенциал определяются из уравнений

$$1 = \frac{G_N}{2} \sum_{\substack{s \\ (s \neq s_1, s_2)}} \frac{1}{\sqrt{C_n^2(s_1, s_2) + \{E(s) - \lambda_n(s_1, s_2)\}^2}}; \quad (14)$$

$$N = 2 + \sum_{\substack{s \\ (s \neq s_1, s_2)}} \left\{ 1 - \frac{E(s) - \lambda_n(s_1, s_2)}{\sqrt{C_n^2(s_1, s_2) + \{E(s) - \lambda_n(s_1, s_2)\}^2}} \right\}. \quad (15)$$

Величины $C_n(s_1, s_2)$, $\lambda_n(s_1, s_2)$, $u_s(s_1, s_2)$, $v_s(s_1, s_2)$ зависят от того, на каких уровнях s_1 и s_2 находятся квазичастицы. Энергии двухквазичастических состояний определяются разностью

$$\mathcal{E}_0(s_1, s_2) - \mathcal{E}_0, \quad (16)$$

где

$$\mathcal{E}_0(s_1, s_2) = E(s_1) + E(s_2) + 2 \sum_{\substack{s \\ s \neq s_1, s_2}} E(s) v_s^2(s_1, s_2) - C_n^2(s_1, s_2)/G_N. \quad (17)$$

Для описания вибрационных состояний вводятся операторы фононов

$$Q_g = \frac{1}{2} \sum_{q, q'} \{ \Psi_{qq'}^g A(q, q') - \Phi_{qq'}^g A^+(q, q') \}, \quad (18)$$

где $g = \lambda \mu j$; $A(q, q') = \sum_{\sigma} \alpha_{q' \sigma} \alpha_{q-\sigma} / \sqrt{2}$ (или $= \sum_{\sigma} \alpha_{q \sigma} \alpha_{q' \sigma} / \sqrt{2}$).

Соответствующую часть гамильтонiana (1) можно записать так:

$$H_v = \sum_q \varepsilon(q) B(q, q) - \frac{1}{2} \sum_{\lambda, \mu \geq 0} \kappa^{(\lambda)} \sum_{qq'} \sum_{q_2 q'_2} \sum_{jj'} f^{\lambda \mu}(qq') f^{\lambda \mu}(q_2 q'_2) \times \\ \times u_{qq'} u_{q_2 q'_2} (\Psi_{qq'}^g + \Phi_{qq'}^g) (\Psi_{q_2 q'_2}^{g'} + \Phi_{q_2 q'_2}^{g'}) Q_g^+ Q_{g'}. \quad (19)$$

Здесь $g = \lambda \mu j$; $g' = \lambda \mu j'$; $f^{\lambda \mu}(q, q')$ — матричный элемент от оператора мультипольного момента $\lambda \mu$; $u_{qq'} = u_q v_{q'} + v_q u_{q'}$; $v_{qq'} = u_q u_{q'} - v_q v_{q'}$; $B(q, q') = \sum_{\sigma} \alpha_{q \sigma}^+ \alpha_{q' \sigma}^+$ (или $= \sum_{\sigma} \alpha_{q-\sigma}^+ \alpha_{q' \sigma}^+$).

Волновая функция основного состояния четно-четного ядра определяется как бесфононная, т. е. $Q_g \Psi_0 = 0$. Возбужденные состояния трактуются как однофононные и описываются волновыми функциями $Q_g^+ \Psi_0$.

Энергии ω_g и волновые функции однофононных состояний находятся с помощью вариационного принципа (см. работу [8]). Для всех однофононных состояний (кроме 0^+ -состояний) секулярное уравнение имеет вид

$$1 = 2\kappa^{(\lambda)} \sum_{qq'} \frac{[f^{\lambda \mu}(q, q') u_{qq'}]^2 [\varepsilon(q) + \varepsilon(q')]}{[\varepsilon(q) + \varepsilon(q')]^2 - (\omega_g)^2}. \quad (20)$$

Используя условие нормировки волновых функций, нетрудно найти:

$$\Psi_{qq'}^g = \frac{1}{\sqrt{2Y_g}} \frac{f^{\lambda\mu}(q, q') u_{qq'}}{\epsilon(q) + \epsilon(q') - \omega_g}; \quad (21)$$

$$\Phi_{qq'}^g = \frac{1}{\sqrt{2Y_g}} \frac{f^{\lambda\mu}(q, q') u_{qq'}}{\epsilon(q) + \epsilon(q') + \omega_g}; \quad (22)$$

$$Y_g = \sum_{qq'} \frac{[f^{\lambda\mu}(q, q') u_{qq'}]^2 \omega_g [\epsilon(q) + \epsilon(q')]}{[\epsilon(q) + \epsilon(q')]^2 - (\omega_g)^2}. \quad (23)$$

Секулярное уравнение и волновая функция однофононного 0^+ -состояния даны в работе [8].

2. АНГАРМОНИЧНОСТЬ ВИБРАЦИОННЫХ СОСТОЯНИЙ

Ангармонические эффекты в четно-четных деформированных ядрах изучены в работах [8, 14—17] с волновой функцией, в которой кроме однофононного включены двухфононные члены. Показано, что в сильнодеформированных ядрах первые вибрационные состояния являются практически однофононными и поэтому результаты расчетов в гармоническом приближении дают правильную структуру этих состояний. Для $K^\pi = 0^+$ состояний и для вторых и более высоких состояний с данными K^π ангармонические эффекты более существенны. Они увеличиваются с приближением к ядрам переходных областей.

Приведем основные формулы для описания вибрационных состояний с учетом ангармоничности. Гамильтониан (1) с учетом выполнения секулярного уравнения (20) и соответствующего уравнения для $\lambda = 2$, $\mu = 0$ состояний имеет вид

$$H = H_v + H_{vq} = \sum_g \omega_g Q_g^+ Q_g - \\ - \frac{1}{2} \sum_{q, q'} [\Gamma^g(q, q') B(q, q') (Q_g^+ + Q_g) + \text{э. с.}] + \\ + \frac{G}{4} \sum_{q, q'} v_{qq} u_{q'q'} [A^+(q, q) B(q', q') + \text{э. с.}], \quad (24)$$

где

$$\Gamma^g(q, q') = \frac{f^{\lambda\mu}(q, q')}{2\sqrt{Y_g}} v_{qq'}. \quad (25)$$

Волновую функцию вибрационного состояния запишем в виде

$$\Psi_i(K^\pi) = \left\{ \sum_g \theta_g^i Q_g^+ + \frac{1}{\sqrt{2}} \sum_{g_1 g_2} \Delta_{g_1 g_2}^i Q_{g_1}^+ Q_{g_2}^+ \right\} \Psi_0, \quad (26)$$

где i — номер возбужденного состояния с данным K^π . Условие нормировки

$$\sum_g (\theta_g^i)^2 + \sum_{g_1 g_2} (\Delta_{g_1 g_2}^i)^2 = 1. \quad (27)$$

Находим среднее значение $H_v + H_{vq}$ по состоянию (26) и из вариационного принципа получаем секулярное уравнение в виде детерминанта в пространстве (jj'):

$$\det \| (\omega_g - \eta_i) \delta_{gg'} - K^i(g, g') \| = 0, \quad (28)$$

где $g = \lambda\mu j$; $g' = \lambda\mu j'$;

$$K^i(g, g') = \frac{1}{2} \sum_{g_1, g_2} \frac{U_g^{g_1 g_2} U_{g'}^{g_1 g_2}}{\omega_{g_1} + \omega_{g_2} - \eta_i}; \quad (29)$$

$$U_g^{g_1 g_2} = \langle Q_g H_{vq} Q_{g_1}^+ Q_{g_2}^+ \rangle. \quad (30)$$

Из решения уравнения (28) находятся энергии состояний η_i , величины $(\theta_g^i)^2$ определяют вклад однофононных компонент, а величины $(\Delta_{g_1 g_2}^i)^2$ — значения двухфононных компонент.

Результаты расчетов показаны в табл. 1 и 2, где даны экспериментальные и расчетные значения энергий и структура первых

Таблица 1

Нижайшие вибрационные состояния ^{228}Th

K_i^π	Энергия, МэВ		Структура, %
	Опыт	Расчет	
2_1^+	0,977	1,0	(221) 95 (301, 321) 2
2_2^+	1,154	1,6	(311, 311) 98,
0_1^-	0,328	0,4	(301) 97, (201, 301) 1
0_2^-	—	1,7	(201, 301) 99
1_1^-	0,740	0,7	(311) 97 (201, 311) 2
1_2^-	—	1,8	(312) 90 (201, 311) 9
2_1^-	1,423	1,2	(321) 90 (221, 301) 10
2_2^-	—	1,6	(221, 301) 90 (321) 10
0_1^+	0,830	0,9	(301, 301) 83 (201) 13 (202) 3
0_2^+	0,888	1,2	(201) 75 (301, 301) 15 (311, 311) 5 (201, 203) 3 (221, 221) 2

и вторых вибрационных состояний [16, 17]. Фононы обозначены $(\lambda\mu j)$, например $(201, 301)$ означает двухфононную компоненту из первых корней фононов с $\lambda\mu = 20$ и $\lambda'\mu' = 30$. В качестве примера рассмотрим ядро ^{228}Th , для которого в табл. 1 приведены состояния с K_i^π , равным $0_{1,2}^+$, $2_{1,2}^+$, $0_{1,2}^-$, $1_{1,2}^-$ и $2_{1,2}^-$. Это ядро находится вблизи переходной области, и можно было бы ожидать

Таблица 2
Энергия и структура 0_1^+ , 0_2^+ -состояний

Ядро	Энергия, Мэв		Структура, %
	Опыт	Расчет	
^{228}Th	0,830	0,9	(301, 301) 83 (201) 13 (202) 3
	0,888	1,2	(201) 75 (301, 301) 15 (311, 311) 5 (201, 203) 3 (221, 221) 2
^{230}Th	0,634	0,6	(201) 76 (201, 201) 21
	1,590	1,5	(301, 301) 91 (203) 6
^{232}Th	0,731	0,7	(201) 75 (201, 201) 19 (221, 221) 2 (301, 301) 2
		1,5	(202) 50 (301, 301) 44 (221, 221) 2 (303) 2 (204, 201) 1
^{232}U	0,691	1,1	(201) 84 (202) 2 (201, 204) 8 (301, 301) 3 (221, 221) 2
		1,5	(301, 301) 80 (203) 9 (202) 7 (201) 4
^{234}U	0,811	0,9	(201) 86 (201, 202) 8 (201, 203) 3 (201, 201) 1 (221, 221) 1
	1,046	1,2	(202) 84 (301, 301) 9 (221, 221) 2 (203) 1
^{236}U	0,920	1,0	(201) 85 (321, 321) 6 (311, 311) 4 (221, 221) 1
		1,3	(202) 74 (301, 301) 14 (311, 311) 5 (203) 3 (321, 321) 2 (201) 1
^{238}U	0,925	0,8	(201) 84 (201, 201) 12
	0,993	1,4	(202) 88 (203) 5 (301, 301) 4 (201, 202) 3
^{238}Pu	0,945	1,1	(201) 94 (301, 301) 2 (221, 221) 1
	1,134	1,2	(301, 301) 62 (202) 35 (201) 3
^{240}Pu	0,860	0,9	(201) 85 (221, 221) 5 (301, 301) 4 (201, 201) 3 (321, 321) 2
	1,411	1,2	(301, 301) 84 (203) 12 (201) 3

наибольшего эффекта ангармоничности именно в этом случае. Однако видно, что все первые вибрационные состояния с данными K^π (кроме состояний 0^+) являются однофононными, но структура вторых вибрационных состояний такова, что доминирует двухфононная компонента. Большая роль двухфононных компонент в этом ядре связана с очень малой энергией фонона (301) и сравнительно малой энергией фонона (311).

В то же время первое 2^+ -состояние, например ядра ^{240}Pu , характеризуется существенным вкладом двухфононных компонент ($\sim 17\%$).

Рассмотрим отдельно структуру 0^+ -состояний. Интерес к состояниям с $K^\pi = 0^+$ весьма велик, и они изучаются в разных подходах [18, 19]. В настоящей работе проводится анализ структуры 0^+ -состояний с учетом эффекта ангармоничности.

Результаты расчетов [16] приведены в табл. 2. Структура первых 0^+ -состояний для разных ядер может существенно различаться. В случае, например, $^{230}, ^{232}\text{Th}$, $^{234}, ^{236}\text{U}$, $^{238}, ^{240}\text{Pu}$ главный вклад в волновую функцию дает однофононная компонента (201), в то время как ^{228}Th характерен тем, что 0_1^+ является двухфонон-

ным. Но влияние двухфононных компонент на нижайшие 0^+ -состояния велико и в первом случае их вклад колеблется от 5 до 20%.

Вторым 0^+ -состояниям свойственна более сложная структура, и они, видимо, больше зависят от выбора констант взаимодействий (см. табл. 2).

3. ПРЕДСТАВЛЕНИЕ РЕЗУЛЬТАТОВ РАСЧЕТОВ

Приведем схемы одночастичных уровней потенциала Саксона — Вудса и параметры, которые были фиксированы при проведении расчетов в области актиноидов, и обсудим представление результатов вычислений.

Расчеты энергий и волновых функций двухквазичастичных и однофононных состояний основаны на одночастичных энергиях и волновых функциях потенциала Саксона — Вудса. Собственные значения энергий и собственные волновые функции для аксиально-симметричного потенциала Саксона — Вудса вычислены приближенным методом, предложенным в работе [20]. Одночастичные энергии и волновые функции частично приведены в работе [13]. Поскольку энергии и волновые функции одночастичных уровней, являющиеся решениями уравнения Шредингера с потенциалом Саксона — Вудса, зависят от массового числа A , деформированные ядра разделены на зоны. Рассматриваемые ядра разбиты на четыре зоны, т. е. энергии и волновые функции рассчитаны при $A = 229, 239, 247$ и 255 . Внутри каждой зоны не проводится никаких изменений энергий и волновых функций.

Для того чтобы получить правильный порядок одночастичных уровней в протонной и нейтронной системах, некоторые параметры потенциала были незначительно изменены от зоны к зоне. Параметры аксиально-симметричного потенциала Саксона — Вудса представлены в табл. 3. Следует отметить, что параметры, приведенные в табл. 3, не сильно отличаются от параметров потенциала

Т а б л и ц а 3

Параметры потенциала — Вудса Саксона для ядер области актиноидов

Зона по A	Нейтронные системы				Протонные системы			
	V_0 , Мэв	τ_0 , ферми	α , ферми $^{-1}$	κ , ферми $^{-2}$	V_0 , Мэв	τ_0 , ферми	α , ферми $^{-1}$	κ , ферми $^{-2}$
229	47,0	1,26	1,40	0,470	60,5	1,24	1,55	0,375
239	46,7	1,26	1,45	0,430	61,0	1,24	1,55	0,375
247	46,0	1,26	1,38	0,430	62,0	1,24	1,55	0,370
255	46,0	1,26	1,30	0,470	62,5	1,24	1,55	0,360

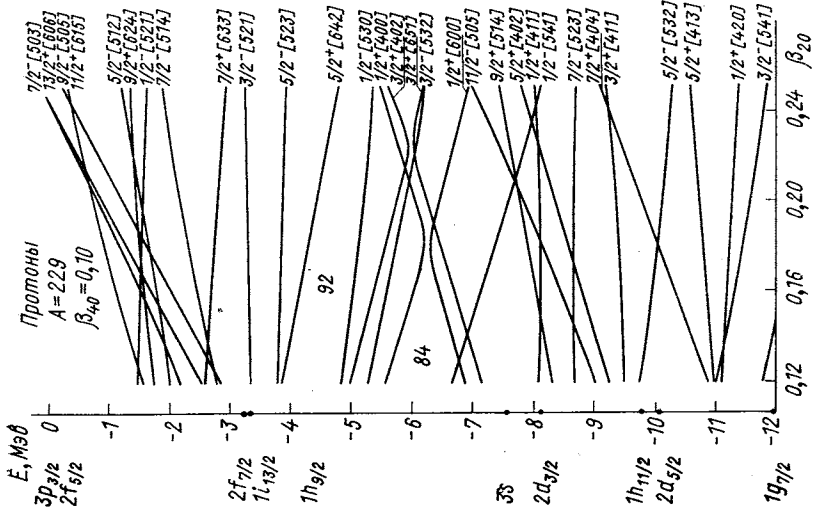
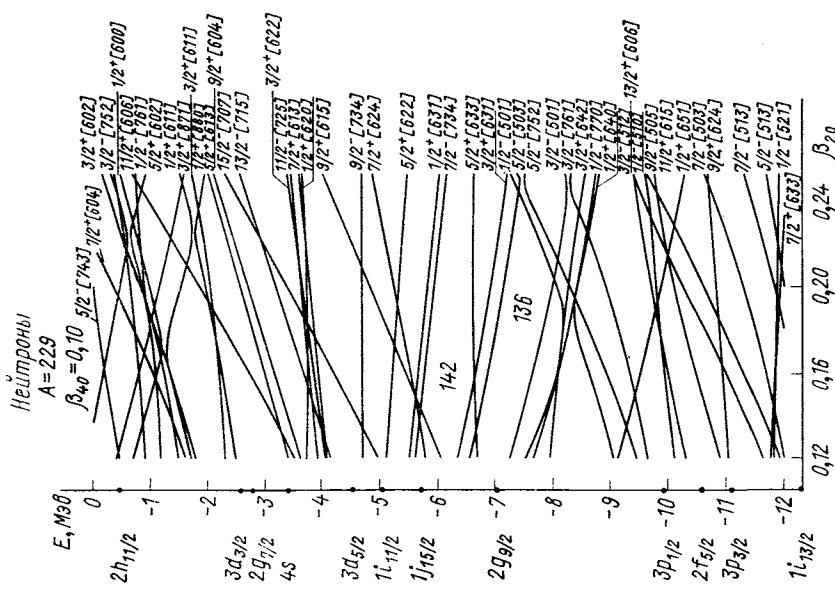


Рис. 1.

Рис. 2.

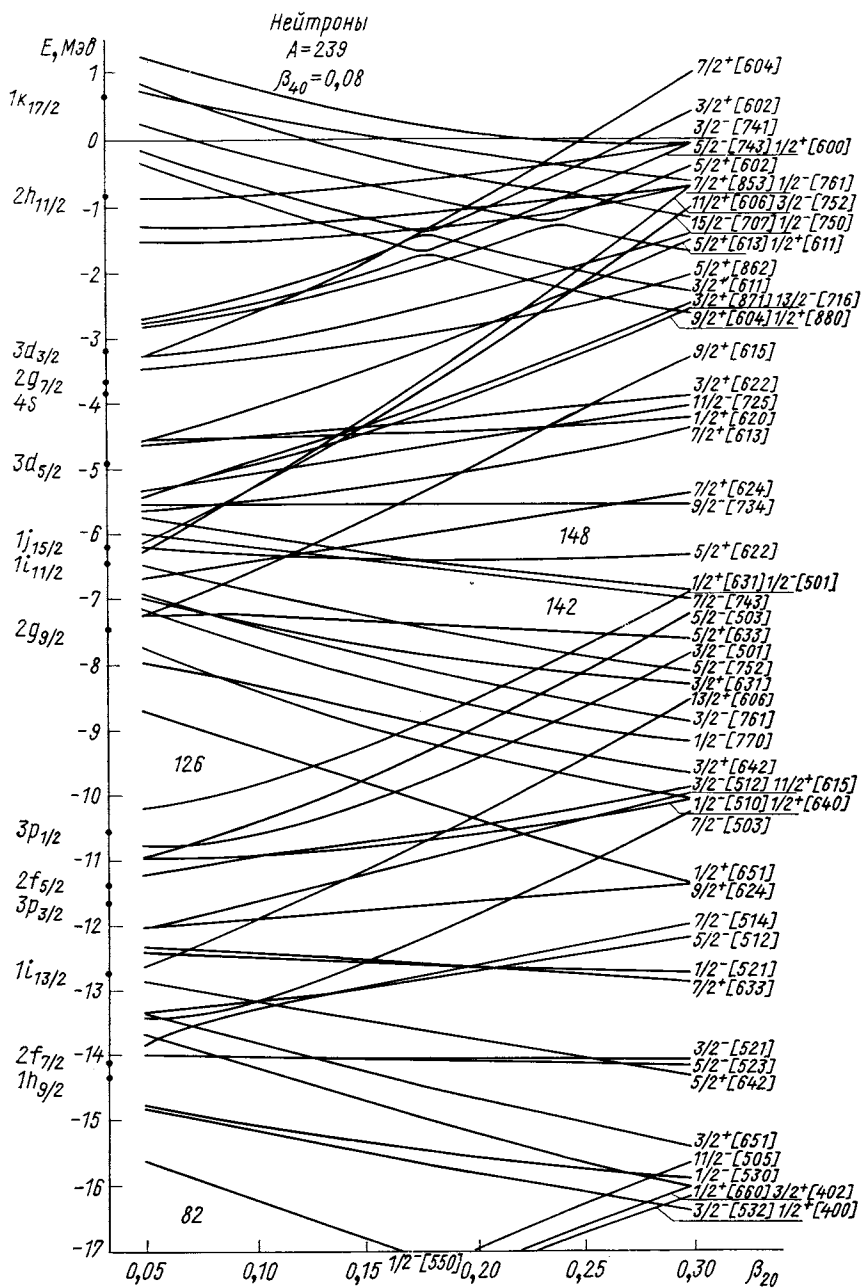


Рис. 3.

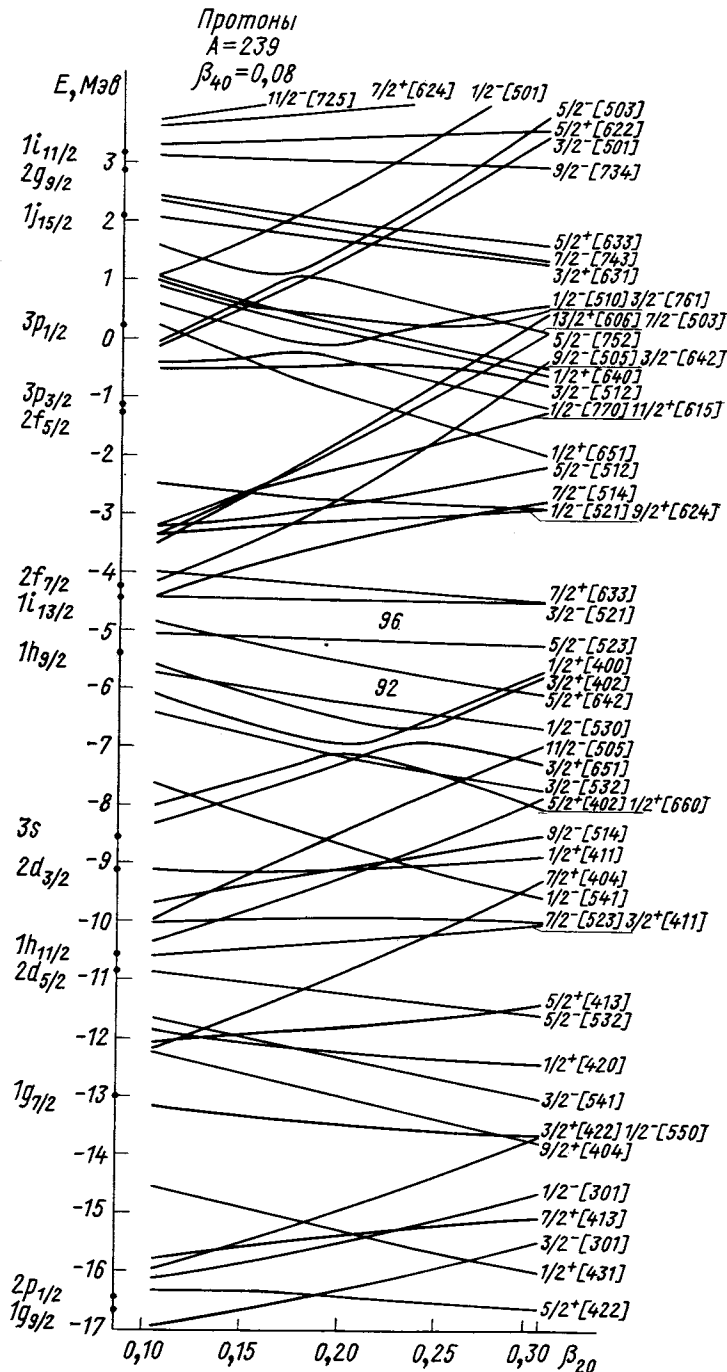


Рис. 4.

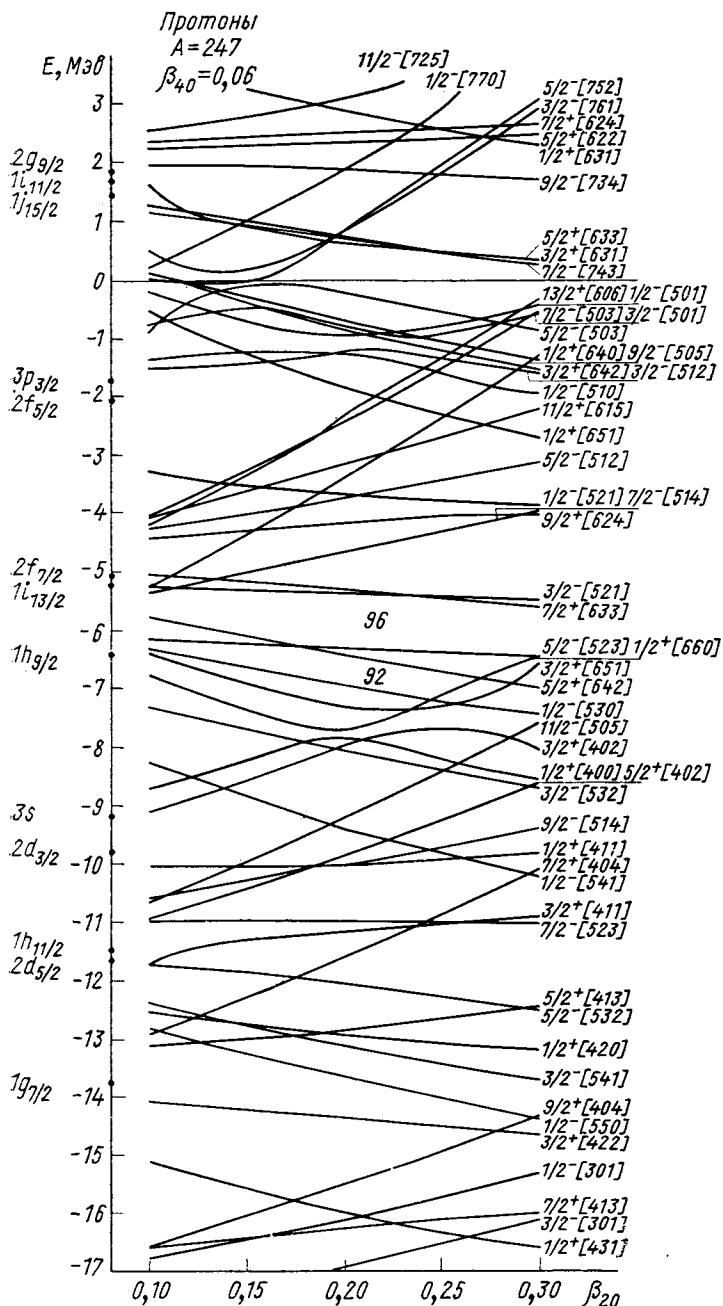


Рис. 5.

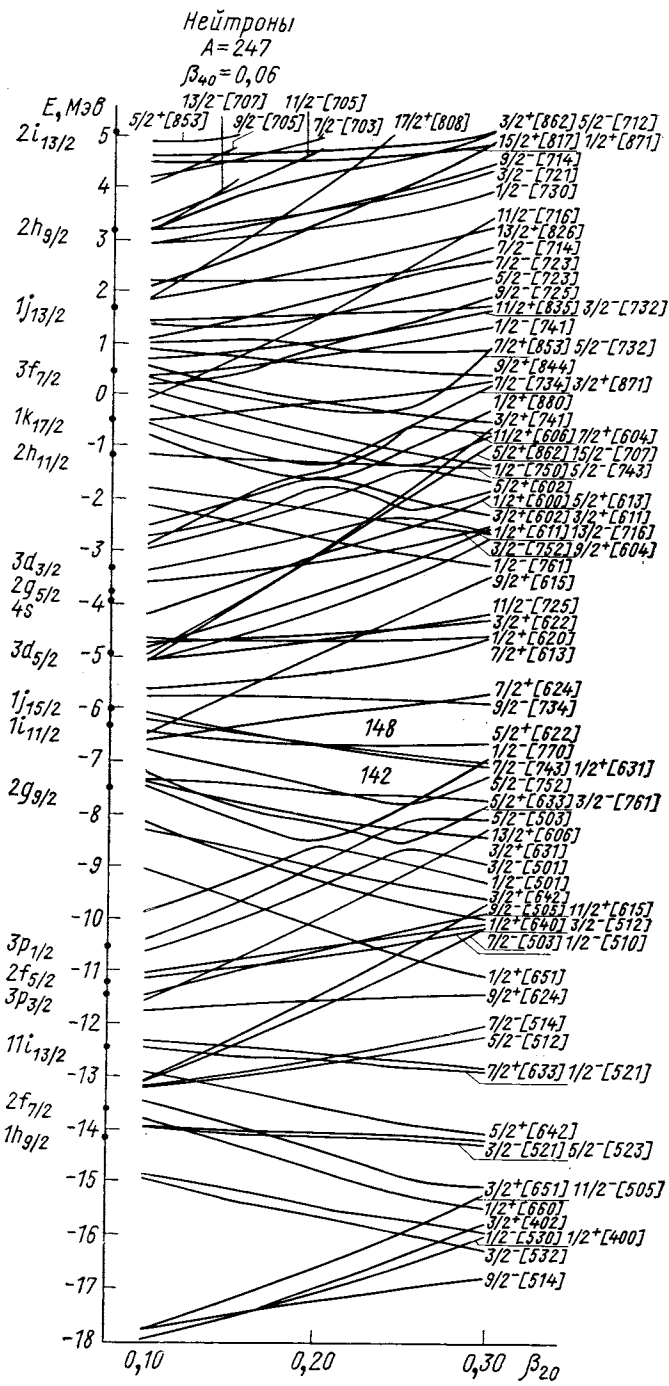
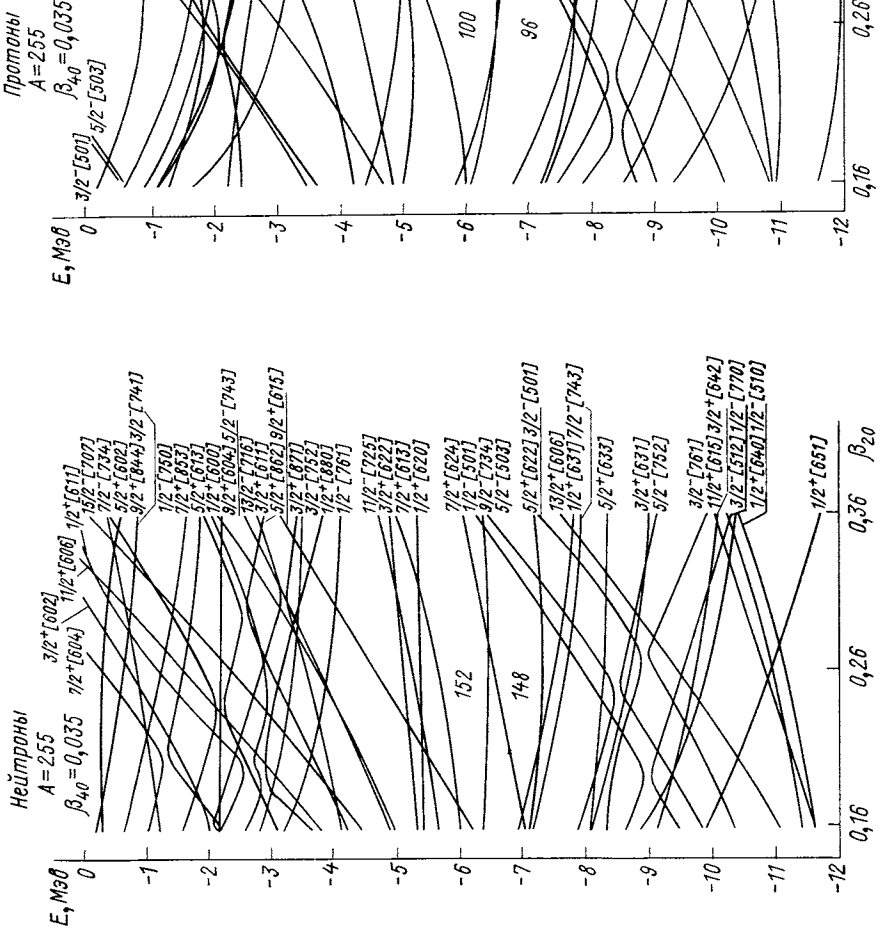


Рис. 6.



Pic. 7.

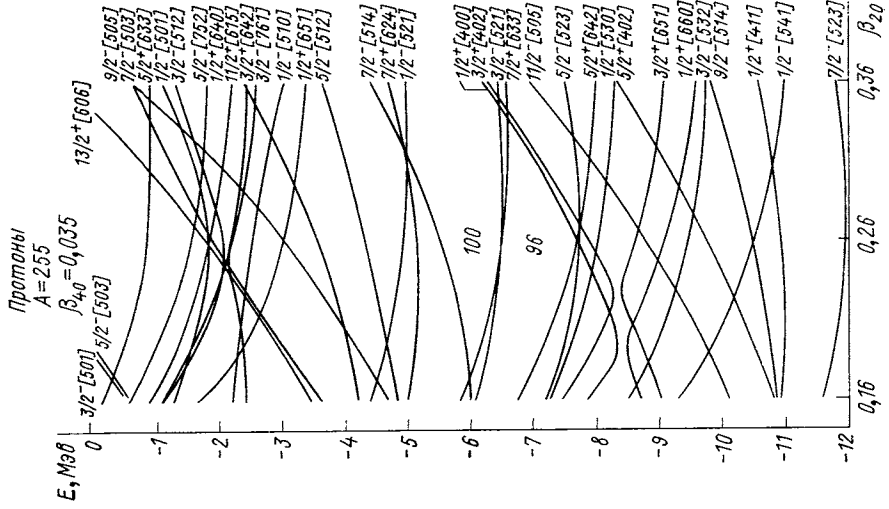


Рис. 8.

Саксона — Вудса для ядер в области $150 < A < 190$, которые даны в работе [21].

Форма ядра описывается формулой

$$R(\theta) = R_0(1 + \beta_0 + \beta_{20}Y_{20}(\theta) + \beta_{40}Y_{40}(\theta)), \quad (31)$$

где $R_0 = r_0 A^{1/3}$ — радиус равновесного сферического ядра; β_0 — постоянная, введенная для выполнения условия сохранения объема ядра; β_{20} — параметр квадрупольной деформации; β_{40} — параметр тексадекапольной деформации.

На рис. 1—8 даны рассчитанные в работах [12, 13] фрагменты схем одночастичных уровней для зон $A = 229, 239, 247, 255$ при значениях β_{40} , близких к равновесным, и в интервале значений β_{20} , в который входят соответствующие равновесные значения. На этих рисунках каждый уровень характеризуется квантовыми числами $K^\pi[Nn_z\Lambda\Sigma]$, где K — проекция полного момента нуклона на ось симметрии ядра; π — четность; $[Nn_z\Lambda\Sigma]$ — асимптотические квантовые числа Нильссена. Используемые выше индексы s (для нейтронов), r (для протонов) и q (для нейтронов и протонов) обозначают эти квантовые числа. Одночастичные энергии отсчитываются от энергий связи нейтрана B_n и протона B_p .

Во всех наших расчетах учитывались нейтронные $E(s)$ и протонные $E(r)$ уровни одночастичного базиса, лежащие в интервалах: $E(s(N=4)) \leq E(s) \leq 5M\text{эв}$, $E(r(N=3)) \leq E(r) \leq$

Таблица 4

Ядро	$\beta_{20}^{\text{теор}}$	$\beta_{40}^{\text{теор}}$	$Q_{20}^{\text{теор}}, 10^{-24} \text{ см}^2$	$Q_{20}^{\text{эксп}}, 10^{-24}, \text{ см}^2$	$Q_{40}^{\text{теор}}, 10^{-48} \text{ см}^4$	$Q_{40}^{\text{эксп}}, 10^{-48} \text{ см}^4$
^{228}Th	0,15	0,07	7,0		2,5	
^{230}Th	0,16	0,07	7,6	$9,0 \pm 0,06$	2,6	$2,58 \pm 0,35$
^{232}Th	0,17	0,08	8,3	$9,62 \pm 0,05$	2,7	$2,87 \pm 0,33$
^{232}U	0,17	0,08	8,5	—	2,8	—
^{234}U	0,18	0,08	9,1	$10,47 \pm 0,05$	2,9	$3,30 \pm 0,45$
^{236}U	0,19	0,08	9,8	$10,80 \pm 0,07$	3,0	$3,07 \pm 0,48$
^{238}U	0,20	0,08	10,4	$11,12 \pm 0,07$	3,2	$1,96 \pm 0,55$
^{238}Pu	0,21	0,08	10,7	$11,27 \pm 0,08$	3,3	$3,26 \pm 0,62$
^{240}Pu	0,22	0,08	11,3	$11,58 \pm 0,08$	3,4	$2,70 \pm 0,58$
^{244}Cm	0,24	0,07	12,4	$12,11 \pm 0,09$	3,8	$0,0^{+1,18}_{-0,0}$
^{246}Cm	0,24	0,065	12,9	$12,25 \pm 0,09$	3,2	$0,0^{+1,18}_{-0,0}$
^{248}Cm	0,25	0,05	13,6	$12,28 \pm 0,09$	3,3	$0,0^{+1,4}_{-0,0}$
^{248}Cf	0,25	0,05	13,9	—	3,4	—
^{250}Cf	0,25	0,04	13,8	—	2,7	—
^{252}Cf	0,25	0,03	13,7	$12,9 \pm 0,4$	2,7	—
^{254}Fm	0,26	0,035	14,6	—	2,9	—
^{256}Fm	0,26	0,025	14,3	—	2,4	—

$\leqslant 5 M_{\text{эв}}$. При этом число учитываемых уровней растет с увеличением A (см. табл. 6).

Результаты вычислений равновесных значений β_{20} и β_{40} , Q_{20} и Q_{40} [22] и соответствующие экспериментальные данные [23, 24] приведены в табл. 4. Вычисления выполнены методом, предложенным в работе [25].

Проведем сравнение теоретических и экспериментальных значений мультипольных моментов, поскольку значения параметров равновесных деформаций существенно отличаются друг от друга в зависимости от того, в каком эксперименте они были получены и как этот эксперимент обрабатывался. Например, для ядра ^{238}U значения $\beta_{20}^{\text{равн}}$ следующие [24]: $0,283 \pm 0,008$; $0,27 \pm 0,01$, $0,22 \pm 0,01$. Для β_{40} найдены значения $0,059 \pm 0,029$; $0,017^{+0,015}_{-0,030}$ и $0,06 \pm 0,01$. Экспериментальные данные получены при изучении кулоновского возбуждения, (p, p') - и (α, α') -реакций соответственно. Вследствие этого считаем более последовательным сравнивать значения Q_{20} и Q_{40} . Экспериментальные данные взяты из работы [23].

Рассчитанные значения корреляционных функций и химических потенциалов для основных состояний нейтронных и протонных систем представлены в табл. 5. Эти величины могут оказаться полезными при оценке разных ядерных характеристик.

Т а б л и ц а 5

Корреляционные функции и химические потенциалы для основных состояний нейтронных (N) и протонных (Z) систем

Зона по A	Нейтронная система			Протонная система			Параметры равновесных деформаций	
	N	c_n	λ_n	Z	c_p	λ_p	β_{20}^0	β_{40}^0
229	138	0,71	-7,01	90	0,91	-5,16	0,19	0,40
	140	0,70	-6,67	92	0,82	-4,68		
	142	0,69	-6,30					
239	142	0,63	-7,11	92	0,77	-5,88	0,22	0,08
	144	0,65	-6,74	94	0,74	-5,41		
	146	0,65	-6,42					
247	148	0,54	-6,06	96	0,54	-5,93	0,23	0,06
	150	0,51	-5,65	98	0,56	-5,40		
	152	0,57	-5,28					
255	152	0,63	-6,08	98	0,79	-6,41	0,26	0,035
	154	0,70	-5,72	100	0,74	-5,92		
	156	0,75	-5,42	102	0,78	-5,43		
				104	0,81	-5,00		

Таблица 6
Параметры, использованные для вычисления энергий и волновых функций
двухвзвинческих и однофононных состояний

Зона по А	Параметры деформации	Число одночастичных уровней	Коэффициенты спаривания	Коэффициенты квадрупольных и октупольных взаимодействий						Ядра	
				$\chi(2), \text{ кэв/ферми}^4$			$\chi(3) \cdot 102 \text{ кэв/ферми}^6$				
				$K\pi = 0^+$	$K\pi = 2^+$	$K\pi = 1^-$	$K\pi = 1^-$	$K\pi = 2^-$	$K\pi = 3^-$		
229	0,19	0,40	94	65	0,084	0,426	0,80	0,94	1,34	1,35	$^{228}\text{Th}^{230}\text{Th}$ $^{232}\text{Th}^{232}\text{U}$
239	0,22	0,08	96	68	0,082	0,416	0,73	0,85	1,24	1,46	1,36
247	0,23	0,06	101	70	0,080	0,413	0,73	0,83	1,08	1,00	1,44
255	0,26	0,035	105	75	0,076	0,408	0,74	0,79	0,94	0,95	0,98
											0,94
											$^{250}\text{Cf}^{252}\text{Cf}$ $^{254}\text{Fm}^{256}\text{Fm}$ $^{254}\text{Pu}^{260}\text{Pu}$

Все параметры, которые использовались при вычислении энергий и волновых функций двухквазичастичных и однофононных состояний четно-четных ядер в области $224 \leq A \leq 260$, приведены в табл. 3 и 6. Увеличение числа зон для ядер рассматриваемой области приводит к улучшению описания низколежащих уровней ядер, расположенных вблизи границ этих зон. Для групп ядер приняты усредненные значения β_{20}^0 и β_{40}^0 на основании экспериментальных и рассчитанных величин, приведенных в табл. 4. При учете ангармоничности разброс значений констант заметно уменьшается. В табл. 6 приведены ядра, для которых выполнены расчеты, с учетом параметров, данных в этой таблице.

Приведенные выше параметры использованы в работах [12, 13] для вычисления неротационных состояний ядер с нечетным числом нейтронов или с нечетным числом протонов. Получено удовлетворительное описание энергий и структуры низколежащих неротационных состояний нечетных деформированных ядер в области $224 < A < 260$.

Опишем таблицы типа табл. 7, в которых представлены результаты расчетов энергий и структуры двухквазичастичных состояний, первых однофононных состояний с $K^\pi = 2^+, 0^-, 1^-$ и 2^- и соответствующие экспериментальные данные.

В верхней части таблицы приведены двухквазичастичные протонные и нейтронные состояния, даны конфигурации двухквазичастичных состояний (q_1, q_2), причем F обозначает уровень поверхности Ферми (последний заполненный уровень для основного состояния в модели независимых частиц), $F + 1, F + 2, F + 3$ обозначают первый, второй, третий и т. п. частичные уровни, а $F - 1, F - 2, F - 3$ обозначают первый, второй, третий и т. п. дырочные уровни. Значения K^π в первой строке соответствуют состоянию с проекцией суммарного спина $\Sigma = 0$, которое согласно правилу Галлахера имеет меньшую энергию, во второй — состоянию с $\Sigma = 1$. В тех случаях, когда для одного из состояний дублета $K = 0$, то согласно работе [26] правило Галлахера может нарушаться так, что состояние с $K \neq 0$ имеет более низкую энергию, а энергия спинового расщепления оказывается малой. В таблице приводятся экспериментальные и рассчитанные значения энергии двухквазичастичных состояний. Энергии двухквазичастичных состояний вычислены по формулам (16) и (17) в модели независимых квазичастич с учетом эффекта блокировки и даны с погрешностью 100 кэв. Спиновое расщепление дублетов не рассчитывалось.

В таблицах для всех ядер даны все двухквазичастичные состояния с энергией до 1,7 Мэв, в некоторых случаях имеются все состояния до 2,5 Мэв. В нескольких таблицах приводятся отдельные двухквазичастичные состояния с более высокой энергией возбуждения, если они представляют особый интерес. Двух-

Таблица 7
Двухквазичастичные и однофононные состояния ^{228}Th

Двухквазичастичные протонные состояния				Двухквазичастичные нейтронные состояния					
Конфигурация	$K\pi$	Энергия, МэВ		Конфигурация	$K\pi$	Энергия, МэВ			
		Опыт	Расчет			Опыт	Расчет		
$F_{651\uparrow}$	$F+1_{530\uparrow}$	1^-_c	—	1,7	$F_{752\uparrow}$	$F+4_{631\uparrow}$	1^-_c	—	1,0
$F_{532\downarrow}$	$F+1_{530\uparrow}$	2^+_c	—	1,9	$F_{752\uparrow}$	$F+2_{633\downarrow}$	5^-_c	—	1,2
$F+1_{530\uparrow}$	$F+2_{642\uparrow}$	2^-_c	—	2,1	$F+1_{631\uparrow}$	$F+2_{633\downarrow}$	4^+_c	—	1,4
$F_{651\uparrow}$	$F+2_{642\uparrow}$	3^-_c	—	2,2	$F-1_{761\uparrow}$	$F+1_{631\uparrow}$	3^-_c	—	1,7
$F-2_{400\uparrow}$	$F+1_{530\uparrow}$	4^-_c	—	2,2	$F-1_{761\uparrow}$	$F_{752\downarrow}$	4^+_c	—	1,7
$F-4_{532\downarrow}$	$F_{651\uparrow}$	3^-_c	—	2,2	$F-1_{761\uparrow}$	$F+2_{633\downarrow}$	4^-_c	—	1,8
$F-4_{532\downarrow}$	$F+2_{642\uparrow}$	4^-_c	—	2,3	$F_{852\uparrow}$	$F+3_{743\uparrow}$	1^+_c	—	1,9
$F-3_{402\downarrow}$	$F+1_{530\uparrow}$	2^-_c	—	2,4	$F-2_{501\downarrow}$	$F+1_{631\uparrow}$	2^-_c	—	2,0
		1^-_c	—		$F-2_{501\downarrow}$	$F+1_{631\uparrow}$	1^-_c	—	

Однофононные состояния

$K\pi$	Энергия, МэВ		$B(E\lambda)_{s.p.u.}$		Структура, %								
	Опыт	расчет	Опыт	расчет	$nn633\downarrow$	$752\uparrow$	49	$nn631\uparrow$	$761\uparrow$	6	$pp400\uparrow$	$530\uparrow$	5
0^-	0,328	0,3	—	28,0	$nn633\downarrow$	$752\uparrow$	49	$nn631\uparrow$	$761\uparrow$	6	$pp400\uparrow$	$530\uparrow$	5
					$nn631\downarrow$	$770\uparrow$	5	$pp651\uparrow$	$521\uparrow$	4	$nn642\downarrow$	$761\uparrow$	2
1^-	—	0,7	—	27,6	$nn752\uparrow$	$631\uparrow$	28	$nn743\uparrow$	$633\downarrow$	8	$nn633\downarrow$	$761\uparrow$	5
					$nn752\uparrow$	$642\downarrow$	5	$pp651\uparrow$	$530\uparrow$	4	$nn633\downarrow$	$542\downarrow$	3
2^+	0,977	0,9	—	4,5	$nn752\uparrow$	$770\uparrow$	13	$nn631\uparrow$	$631\downarrow$	11	$nn633\downarrow$	$631\downarrow$	11
					$nn743\uparrow$	$761\uparrow$	10	$pp532\downarrow$	$530\uparrow$	6	$nn503\downarrow$	$501\downarrow$	5
2^-	1,123	1,1	—	12,0	$nn743\uparrow$	$631\uparrow$	14	$pp642\uparrow$	$530\uparrow$	9	$nn752\uparrow$	$640\uparrow$	8
					$nn743\uparrow$	$642\downarrow$	7	$nn633\downarrow$	$770\uparrow$	5	$pp651\uparrow$	$530\uparrow$	5
3^-	—	1,8	—	0,005	$nn631\uparrow$	$761\uparrow$	100	—	—	—	—	—	—

квазичастичные состояния приведены в порядке возрастания рассчитанного значения энергии отдельно для протонной и нейтронной систем.

Следует иметь в виду, что некоторые состояния с энергией более $2 M_{\text{эв}}$ не являются двухквазичастичными, а содержат смесь двух или более двухквазичастичных компонент. В этом проявляется начинаящийся процесс фрагментации двухквазичастичного состояния по нескольким ядерным уровням. Однако в этом случае приписываем уровню ту двухквазичастичную компоненту, которая должна являться наибольшей. Изучение этого явления представляет самостоятельный интерес, особенно важен его учет при исследовании высоковозбужденных состояний ядер.

Состояния с $K^\pi = 0^+, 2^+, 0^-, 1^-$ и 2^- помечены буквой c . Это означает, что отмеченные уровни в таблицах типа табл. 7 нельзя учитывать при анализе экспериментальных данных, поскольку из-за наличия квадрупольного и октупольного остаточных взаимодействий в четно-четных ядрах нет чистых двухквазичастичных состояний с указанными значениями K^π . Приведенные в таблицах энергии состояний $2^+c, 0^-c, 1^-c$ и 2^-c являются лишь первыми, вторыми и т. д. полюсами секулярного уравнения (20). Экспериментальным уровням с данными K^π соответствуют найденные при решении уравнения (20) квадрупольные и октупольные вибрационные состояния.

В нижней части таблиц типа табл. 7 приведены первые квадрупольные состояния с $K^\pi = 2^+$ и первые октупольные состояния с $K^\pi = 0^-, 1^-$ и 2^- . В таблице даны экспериментальные и рассчитанные значения энергии состояний, которые расположены в порядке возрастания рассчитанных значений энергий. Вычисления $B(E\lambda)$ выполнены со значениями эффективных зарядов $e_{\text{эфф}}^{(2)} = 0, e_{\text{эфф}}^{(3)} = 0,2$. В таблицах приведены величины $B(E\lambda, 0^{+0_g} \rightarrow I^\pi K)$ в одночастичных единицах ($B(E2)_{s.p.} = 0,3 A^{4/3} e^2$ ферми⁴, $B(E3)_{s.p.} = 0,42 A^2 e^2$ ферми⁶), где для переходов в квадрупольные состояния $I = 2, K = 0,2$, в октупольные — $I = 3, K = 0, 1, 2, 3$.

В таблицах приводятся для каждого однофононного состояния шесть наибольших двухквазичастичных компонент, каждая из которых превышает 1 %. Компоненты расположены в порядке убывания их значений. Обозначено: nn — нейтронные, pp — протонные двухквазичастичные компоненты, подчеркнуты те значения компонент, для которых знак Ψ отрицателен [см. (18) и (23)].

Ссылки на работы, из которых взяты экспериментальные данные, приведенные в таблицах типа табл. 7, даны в тексте при обсуждении схем уровней. Значения энергии и $B(E\lambda)$ для состояний, интерпретация которых не является достаточно определенной, указаны в скобках.

4. ИЗОТОПЫ ТОРИЯ

Среди изотопов тория наиболее изученными экспериментально являются ^{228}Th , ^{230}Th , ^{232}Th . Экспериментальная информация об уровнях до энергий $\sim 2 \text{ МэВ}$ ядра ^{228}Th поступает из β^- -распада ^{228}Ac , а также из электронного захвата на ^{228}Ra , имеющих энергию распада более 2 МэВ . Электронный захват на ^{230}Ra дает спектр возбуждения ^{230}Th до энергии $\sim 1 \text{ МэВ}$. Получить сведения об уровнях ^{230}Th и ^{232}Th из β^- -распада невозможно, так как изотоп ^{230}Ac имеет время жизни менее 1 мин, а изотоп ^{232}Ac экспериментально не обнаружен. Энергия электронного захвата на ^{232}Ra менее $0,5 \text{ МэВ}$, и это не позволяет использовать его для получения сведений о возбужденных состояниях ^{232}Th . Возбужденные состояния ядер ^{228}Th , ^{230}Th и ^{232}Th наблюдают в α -распаде долгоживущих изотопов урана: ^{232}U , ^{234}U , ^{236}U . Экспериментальная информация о спектрах возбуждения ядер ^{228}Th , ^{230}Th и ^{232}Th , полученная из описанных выше процессов, приведена в работах [27] и систематизирована в работах [1–3, 28].

В последние годы выполнены работы по исследованию спектров возбуждения изотопов тория с помощью процессов неупругого рассеяния и кулоновского возбуждения [29, 30], реакций передач [31–33], а также (n, γ) -реакций [34].

Результаты расчетов неротационных состояний ядер ^{228}Th , ^{230}Th , ^{232}Th и соответствующие достаточно хорошо идентифицированные экспериментальные данные приведены в табл. 7–9.

В ^{228}Th и ^{230}Th первое $K^\pi = 0^-$ состояние имеет очень малую энергию. Это приводит к появлению заметных двухфононных примесей к основным однофононным компонентам, что видно из табл. 1. Поэтому первое 0^+ -состояние в ^{228}Th имеет преобладающую двухфононную компоненту, а в ^{230}Th и ^{232}Th – большие примеси двухфононных компонент. Из табл. 2 видно, что вычисленные энергии первых 0^+ -состояний хорошо согласуются с опытом. Рассчитанные значения $B(E2, 0_g^+ \rightarrow I^\pi K = 2^+0)$ для ^{230}Th и ^{232}Th , равные 4 и 2,6, не сильно отличаются от экспериментальных величин $1,10 \pm 0,14$ и $2,9 \pm 0,2$.

Из табл. 7–9 видно, что рассчитанные энергии и $B(E\lambda)$ для первых квадрупольных $K^\pi = 2^+$ и октупольных состояний неплохо согласуются с экспериментальными данными, взятыми из работы [30].

Примером октупольного состояния с $K^\pi = 1^-$ в изотопах тория является хорошо установленный уровень 954 кэВ в ядре ^{230}Th [1–3, 28, 30]; его энергия и $B(E3, 0_g^+ \rightarrow I = 3, K = 1)_{\text{эксп}}$ воспроизводятся в приводимом расчете (см. табл. 8). Экспериментальные сведения об октупольных состояниях с $K^\pi = 0^-$, 1^- в ядре ^{232}Th несколько противоречивы. Так, в работах [2–3, 28, 34] квантовые числа $K^\pi = 0^-$ приписывались уровню 1045 кэВ,

Таблица 8
Двухквазичастичные и однофононные состояния ^{230}Th

Двухквазичастичные протонные состояния				Двухквазичастичные нейтронные состояния					
Конфигурация	$K\pi$	Энергия, МэВ		Конфигурация	$K\pi$	Энергия, МэВ			
		Опыт	Расчет			Опыт	Расчет		
$F_{651\uparrow}$	$F+1_{530\uparrow}$	1^-c	—	1,7	$F_{631\uparrow}$	$F+1_{633\downarrow}$	4^+	—	1,0
$F_{532\downarrow}$	$F+1_{530\uparrow}$	2^-c	—	1,9	$F_{752\uparrow}$	$F+1_{633\downarrow}$	1^+	—	1,2
$F_{530\uparrow}$	$F+1_{642\uparrow}$	2^-c	—	2,1	$F_{752\uparrow}$	$F_{631\uparrow}$	5^-c	—	1,4
$F_{651\uparrow}$	$F+2_{642\uparrow}$	1^+	—	2,2	$F_{631\uparrow}$	$F+2_{743\uparrow}$	4^-c	—	1,6
$F_{400\uparrow}$	$F+1_{530\uparrow}$	0^-c	—	2,2	$F_{633\downarrow}$	$F+2_{743\uparrow}$	5^-c	—	1,7
$F_{532\downarrow}$	$F_{651\uparrow}$	3^-c	—	2,2	$F_{752\uparrow}$	$F+2_{743\uparrow}$	6^-c	—	1,7
$F_{532\downarrow}$	$F_{642\uparrow}$	0^-c	—	2,2	$F_{631\uparrow}$	$F+3_{631\downarrow}$	1^+	—	1,7
$F_{532\downarrow}$	$F_{642\uparrow}$	4^-c	—	2,3	$F_{631\uparrow}$	$F+3_{631\downarrow}$	6^+	—	1,7
$F_{402\downarrow}$	$F+1_{530\uparrow}$	1^-c	—	2,4	$F_{633\downarrow}$	$F+3_{631\downarrow}$	2^+c	—	1,8

Однофононные состояния

$K\pi$	Энергия, МэВ		$B(E\lambda)_{s.p.u.}$		Структура, %								
	Опыт	Расчет	Опыт	Расчет	$nn633\downarrow$	$752\uparrow$	54	$pp400\uparrow$	$530\uparrow$	5	$nn631\downarrow$	$770\uparrow$	4
0^-	0,508	0,5	29 ± 3	20,0	$pp651\uparrow$	$521\uparrow$	4	$nn631\downarrow$	$761\uparrow$	3	$nn624\downarrow$	$743\uparrow$	2
2^+	0,782	0,8	$2,9 \pm 0,3$	4,4	$nn633\downarrow$	$631\downarrow$	26	$nn631\uparrow$	$631\downarrow$	20	$nn743\uparrow$	$761\uparrow$	8
1^-	0,954	1,0	23 ± 3	16,0	$pp532\downarrow$	$530\uparrow$	5	$nn752\uparrow$	$770\uparrow$	4	$nn734\uparrow$	$752\uparrow$	3
2^-	1,079	1,1	—	11,7	$nn743\uparrow$	$631\uparrow$	29	$nn752\uparrow$	$631\downarrow$	25	$pp651\uparrow$	$530\uparrow$	4
3^-	—	1,9	—	0,08	$nn633\downarrow$	$761\uparrow$	3	$nn512\downarrow$	$631\downarrow$	1	$nn752\uparrow$	$642\downarrow$	1
					$nn631\downarrow$	$752\uparrow$	98	$pp642\uparrow$	$530\uparrow$	8	$nn743\uparrow$	$642\downarrow$	6
								$pp651\uparrow$	$530\uparrow$	4	$nn752\uparrow$	$631\downarrow$	3

Таблица 9
Двухквазичастичные и однофононные состояния ^{232}Th

Двухквазичастичные протонные состояния				Двухквазичастичные нейтронные состояния					
Конфигурация	$K\pi$	Энергия, Мэв		Конфигурация	$K\pi$	Энергия, Мэв			
		Опыт	Расчет			Опыт	Расчет		
F $651\uparrow$	$F+1$ $530\uparrow$	1^-c 2^-c	—	1,7	F $633\downarrow$	$F+1$ $743\uparrow$	6^- 1^-c	—	1,2
$F-1$ $532\downarrow$	$F+1$ $530\uparrow$	2^+c 1^+	—	1,9	F $633\downarrow$	$F+2$ $631\downarrow$	2^+c 3^+	—	1,3
$F+1$ $530\uparrow$	$F+2$ $642\uparrow$	2^-c 3^-c	—	2,1	$F-1$ $631\uparrow$	$F+1$ $743\uparrow$	2^-c 5^-	—	1,5
F $651\uparrow$	$F+2$ $642\uparrow$	1^+ 4^+	—	2,2	$F-1$ $631\uparrow$	$F+2$ $631\downarrow$	2^+c 1^+	—	1,5
$F-2$ $400\uparrow$	$F+1$ $530\uparrow$	1^-c 0^-c	—	2,2	$F-2$ $752\uparrow$	$F+1$ $743\uparrow$	1^+ 6^+	—	1,6
$F-1$ $532\downarrow$	F $651\uparrow$	3^-c 0^-c	—	2,2	$F-2$ $752\uparrow$	$F+2$ $631\downarrow$	3^- 2^-c	—	1,7
$F-1$ $532\downarrow$	$F+2$ $642\uparrow$	4^- 1^-c	—	2,3	$F+1$ $743\uparrow$	$F+2$ $631\downarrow$	4^- 3^-c	—	1,7
$F-3$ $402\downarrow$	$F+1$ $530\uparrow$	2^-c 1^-c	—	2,4	$F-1$ $631\uparrow$	F $633\downarrow$	4^+ 1^+	—	1,7

Однофононные состояния

$K\pi$	Энергия, Мэв		$B(E\lambda)_{s.p.u.}$		Структура, %								
	Опыт	Расчет	Опыт	Расчет	$nn633\downarrow$	$631\downarrow$	39	$nn631\uparrow$	$631\downarrow$	21	$nn743\uparrow$	$761\uparrow$	5
2^+	0,786	0,8	$2,9 \pm 0,2$	3,4	$pp532\downarrow$	$530\uparrow$	4	$nn734\uparrow$	$752\uparrow$	3	$pp402\downarrow$	$660\uparrow$	2
0^-	0,743	0,9	20 ± 2	11,0	$nn633\downarrow$	$752\uparrow$	37	$nn624\downarrow$	$743\uparrow$	12	$pp660\uparrow$	$530\uparrow$	7
					$pp651\uparrow$	$521\uparrow$	5	$nn631\downarrow$	$501\downarrow$	5	$nn622\uparrow$	$752\uparrow$	3
2^-	—	1,0	—	12,0	$nn743\uparrow$	$631\uparrow$	32	$nn734\uparrow$	$633\downarrow$	10	$pp642\uparrow$	$530\uparrow$	7
					$nn743\uparrow$	$642\downarrow$	4	$pp651\uparrow$	$530\uparrow$	3	$nn752\uparrow$	$631\downarrow$	3
1^-	1,045	1,1	$11,5 \pm 2,3$	11,2	$nn743\uparrow$	$633\downarrow$	61	$nn752\uparrow$	$631\uparrow$	4	$pp651\uparrow$	$530\uparrow$	3
					$nn743\uparrow$	$622\uparrow$	3	$pp523\uparrow$	$402\downarrow$	1	$nn734\uparrow$	$624\downarrow$	1
3^-	—	1,7	—	0,04	$nn743\uparrow$	$631\downarrow$	99	—	—	—	—	—	—

Таблица 10
Двухквазичастичные и однофононныe состояния ^{232}U

Двухквазичастичные протонные состояния					Двухквазичастичные нейтронные состояния				
Конфигурация	K^{π}	Энергия, МэВ			Конфигурация	K^{π}	Энергия, МэВ		
		Опыт	Расчет				Опыт	Расчет	
F 530↑	$F+1$ 642↑	2^-c 3^-c	—	1,6	F 631↑	$F+1$ 633↓	4^+ 1^+	—	1,0
F 530↑	$F+2$ 523↓	3^+ 2^+c	—	2,0	$F-1$ 752↑	$F+1$ 633↓	5^- 0^-c	—	1,2
$F-1$ 651↑	$F+1$ 642↑	1^+ 4^+	—	2,0	$F-1$ 752↑	F 631↑	4^-c 4^-	—	1,4
$F-2$ 532↓	$F+1$ 642↑	4^- 1^-c	—	2,2	F 631↑	$F+2$ 743↑	2^-c 5^-	—	1,6
$F+1$ 642↑	$F+2$ 523↓	5^- 0^-c	—	2,3	$F+1$ 633↓	$F+2$ 743↑	6^- 1^-c	—	1,7
$F-1$ 651↑	$F+2$ 523↓	4^- 1^-c	—	2,4	$F-1$ 752↑	$F+2$ 743↑	4^+ 6^+	—	1,7
F 530↑	$F+3$ 521↑	4^+ 2^+c	—	2,5	F 631↑	$F+3$ 631↓	2^+c 1^+	—	1,7

Однофононныe состояния

K^{π}	Энергия, МэВ		$B(E\lambda)_{s.p.u.}$		Структура, %								
	Опыт	Расчет	Опыт	Расчет	$nn633\downarrow$	$752\uparrow$	56	$pp651\uparrow$	$521\uparrow$	6	$nn631\downarrow$	$501\downarrow$	4
0^-	0,564	0,5	—	16,0	$nn633\downarrow$	$752\uparrow$	56	$pp651\uparrow$	$521\uparrow$	6	$nn631\downarrow$	$501\downarrow$	4
2^+	0,867	0,9	—	3,0	$nn633\downarrow$	$631\downarrow$	30	$nn631\uparrow$	$631\downarrow$	23	$nn743\uparrow$	$761\uparrow$	8
2^-	1,019	1,0	—	11,4	$nn743\uparrow$	$631\uparrow$	28	$nn752\uparrow$	$631\downarrow$	3	$pp532\downarrow$	$530\uparrow$	2
1^-	—	1,1	—	13,4	$nn743\uparrow$	$633\downarrow$	30	$nn752\uparrow$	$631\uparrow$	27	$pp642\uparrow$	$521\uparrow$	3
3^-	—	1,8	—	0,3	$nn633\downarrow$	$761\uparrow$	—	$pp651\uparrow$	$530\uparrow$	2	$nn752\uparrow$	$642\downarrow$	1

однако в работе [29] в (d, d')-реакции установлены состояния 713 кэв с $K^\pi = 0^-$ и 1107 кэв с $I^\pi = 3^-$. В работе [30] в (α, α')-реакции наблюдались уровни 774 кэв с $K^\pi = 0^-, I = 3$ и 1106 кэв с $K^\pi = 1^-, I = 3$.

Совместный анализ этих работ позволяет считать, что вибрационное октупольное состояние $K^\pi = 0^-$ имеет энергию 713 кэв, а состояние с $K^\pi = 1^-$ лежит в пределах 1000—1100 кэв. Соответствующие состояния в приводимом расчете для ядра ^{232}Th вполне удовлетворительно согласуются по энергии и величинам $B(E3, 0_g \rightarrow I = 3, K = 0, 1)_{\text{эксп}}$ (см. табл. 9).

Октупольные состояния с $K^\pi = 0^-$, лежащие в изотопах радия и легких изотопах тория в пределах 200—300 кэв, известны давно [35]. Впоследствии эти состояния, а также первые состояния с $K^\pi = 0^-$ в изотопах урана, плутония и более тяжелых актиноидах исследовались во многих экспериментальных и теоретических работах [10, 11, 29, 30, 34, 36—39]. Причина такого сильного опускания энергий первых 0^- -состояний в легких изотопах тория и урана объяснена, а затем изучена более подробно в работе [10]. В работе [39] расчеты этих состояний выполнены с учетом взаимодействия квазичастиц с фононами и получено удовлетворительное описание энергий первых 0^- -состояний. Расчеты однофононных состояний для ^{228}Th , ^{230}Th , ^{232}Th , ^{232}U (см. табл. 7—10) взяты из работы [11]. Как видно из таблиц, в однофононном приближении удается правильно описать известные энергии и величины $B(E3, 0_g \rightarrow I = 3, K = 0)_{\text{эксп}}$ в этих ядрах. Как уже отмечалось в работе [11], появление низких состояний 0_1^- в изотопах с $N = 136, 138, 140$ объясняется сильным влиянием двух нижайших полюсов $pp633 \downarrow 752 \uparrow$ и $pp631 \uparrow 761 \uparrow$. Эти полюса расположены низко по энергии и соответствующие им матричные элементы оператора мультипольного момента с $\lambda\mu = 30$ имеют большие значения.

В ядре ^{228}Th можно считать хорошо установленным октупольное состояние 1123 кэв с $K^\pi = 2^-$ [1—3, 27, 28]. В реакции электронного захвата на ^{230}Ra [1—3, 28] наблюдался уровень 1080 кэв — 2^- в ядре ^{230}Th , который не входит в ротационную полосу, построенную на октупольном состоянии с $K^\pi = 1^-$. Как видно из табл. 7, 8, энергии этих уровней хорошо передаются в расчетах. Экспериментальных сведений о состояниях с $K^\pi = 3^-$ в изотопах тория нет.

5. ИЗОТОПЫ УРАНА

Обсудим здесь неротационные состояния ядер ^{232}U , ^{234}U , ^{236}U , ^{238}U . Изотопы урана исследованы экспериментально сравнительно хорошо. Процесс β^- -распада ^{232}Ra изучался в работах [40, 41], в работах [40, 42, 43] — процесс электронного захвата

на ^{232}Np . Экспериментальная информация о спектре возбуждения ^{232}U до 1 Мэв, получаемая из этих процессов, а также из α -распада ^{236}Pu [44, 45], систематизирована в работах [1—3, 28]. В работе [31] даны возбужденные состояния ^{232}U , полученные из (p, t) -реакции. В β^- -распаде, имеющем энергию 1,4 Мэв, установлены основания и некоторые уровни ротационных полос, построенных на состояниях с $K^\pi = 0^+, 2^+, 0^-, 2^-$. Данные из e -захвата на ^{232}Np , α -распада ^{236}Pu и (p, t) -реакции подтверждают энергии этих состояний.

Результаты расчетов и экспериментальные данные для ^{232}U приведены в табл. 2 (состояния 0^+) и 10. Теоретические значения энергий первых квадрупольных и октупольных состояний хорошо согласуются с известными экспериментально. Как уже отмечалось в разд. 4, энергия и структура первого состояния 0^- ^{232}U так же, как и изотопов тория, определяется влиянием первого полюса nn $633 \downarrow 752 \uparrow$.

Спектр возбуждения ^{234}U получен при изучении β^- -распада метастабильного состояния $T_{1/2} = 1,17$ мин ядра ^{234}Pa [46—49], β -распада основного состояния ^{234}Pa [38, 50, 51], e -захвата на ^{234}Np [47, 52], а также α -распада ^{238}Pu [53—56]. Экспериментальные данные, полученные в этих процессах, а также в (d, p) -, (d, t) -реакциях [57] систематизированы в работах [1—3, 28]. В последние годы ядро ^{234}U исследовано в кулоновском возбуждении [30], в (p, t) [31]- и (d, d') [58]-реакциях.

В результате анализа экспериментальных данных в ядре ^{234}U установлены вибрационные состояния с $K^\pi = 0^+, 2^+, 0^-, 1^-, 2^-$, а также несколько двухквазичастичных состояний. В табл. 11 приведены результаты расчетов неротационных состояний ^{234}U и соответствующие экспериментальные данные. Расчеты хорошо передают характеристики вибрационных состояний. Первые два 0^+ -состояния, структура которых дана в табл. 2, являются в основном однофононными. Для первого 0^+ -состояния рассчитанное значение $B(E2) = 3,4$ согласуется с экспериментальным значением $2,3 \pm 0,3$. В ^{234}U изучением (d, p) - и (d, t) -реакций [57] и в β^- -распаде ^{234}Pa [38] экспериментально обнаружено восемь двухквазичастичных состояний, энергии которых правильно предсказаны теорией [10].

Спектр возбуждения ядра ^{236}U изучался в β^- -распаде ^{236}Pa [59, 60], в e -захвате на метастабильное состояние с $T_{1/2} = 22,5$ ч ядра ^{236}Np [61], в α -распаде ^{240}Pu [53, 62]. Полученные экспериментальные данные систематизированы в работах [1—3, 28]. Ядро ^{236}U изучалось также в (t, p) [33]-, (p, t) [31]-реакциях, в процессе кулоновского возбуждения (α, α') [30], в (n, γ) -[63, 64], (d, d') [65]-реакциях. Установленные энергии первых квадрупольных и октупольных состояний и величины $B(E\lambda)$ хорошо передаются в расчетах (табл. 12). Структура 0^+ -состояний дана

Таблица 11

Двухквазичастичные и однофононные состояния ^{234}U

Двухквазичастичные протонные состояния				Двухквазичастичные нейтронные состояния				
Конфигурация	K^{π}	Энергия, Мэв		Конфигурация	K^{π}	Энергия, Мэв		
		опыт	расчет			опыт	расчет	
F 530↑	$F+1$ 642↑	2^-c 3-	— 1,723	1,4	F 633↓	$F+1$ 743↑	6^- 1^-c	1,421 1,3
F 530↑	$F+2$ 523↓	3^+ 2^+c	— —	1,7	F 633↓	$F+2$ 631↓	2^+c 3^+	1,496 1,3
$F-1$ 651↑	$F+1$ 642↑	1^+ 4^+	— 1,724	1,8	F 633↓	$F+3$ 622↑	5^+ 0^+c	1,552 1,4
$F+1$ 642↑	$F+2$ 523↓	5^- 0^-c	— —	1,9	$F-1$ 752↑	$F+1$ 743↑	1^+ 6^+	— 1,5
$F-1$ 651↑	$F+2$ 523↓	4^- 1^-c	— —	2,0	$F-1$ 752↑	$F+2$ 631↓	3^- 2^-c	— 1,6
$F-2$ 400↑	$F+2$ 523↓	3^+ 2^+c	— —	2,1	$F-1$ 752↑	$F+3$ 622↑	5^- 0^-c	— 1,7
$F-3$ 532↓	$F+1$ 642↑	4^- 1^-c	— —	2,2	$F-2$ 631↑	$F+4$ 743↑	2^-c 5^-	— 1,694
$F-1$ 651↑	F 530↑	1^-c 2^-c	— —	2,2	$F-3$ 501↓	$F+4$ 743↑	4^+ 3^+	1,884 1,956
Однофононные состояния								

K^{π}	Энергия, Мэв		$B(E\lambda)_{s.p.u.}$		Структура, %			
	опыт	расчет	опыт	расчет	опыт	расчет	опыт	расчет
0-	0,786	0,7	26 ± 3	20,3	$nn622\downarrow 752\uparrow 21$	$pp523\downarrow 642\uparrow 5$	$nn633\downarrow 752\uparrow 16$	$pp521\uparrow 651\uparrow 9$
2^+	0,927	0,9	$2,9 \pm 0,3$	4,5	$nn633\downarrow 631\downarrow 43$	$pp642\uparrow 660\uparrow 3$	$nn631\uparrow 631\downarrow 19$	$nn743\uparrow 761\uparrow 6$
2^-	0,989	0,9	$9,5 \pm 2,3$	6,9	$pp642\uparrow 530\uparrow 68$	$nn734\uparrow 633\downarrow 1$	$nn743\uparrow 631\uparrow 14$	$nn752\uparrow 631\downarrow 3$
1^-	(1,436)	1,0	—	8,9	$nn743\uparrow 633\downarrow 73$	$pp651\uparrow 530\uparrow 2$	$nn631\downarrow 761\uparrow 1$	$pp642\uparrow 521\uparrow 2$
								$nn752\uparrow 631\uparrow 1$

Таблица 12
Двухквазичастичные и однофононные состояния ^{236}U

Двухквазичастичные протонные состояния			Двухквазичастичные нейтронные состояния						
Конфигурация	K^{π}	Энергия, Мэв		Конфигурация	K^{π}	Энергия, Мэв			
		опыт	расчет			опыт	расчет		
$F_{530\uparrow}$	$F+1_{642\uparrow}$	2^-_c	—	1,4	$F_{743\uparrow}$	$F+1_{631\downarrow}$	$4^-_{3^-c}$	1,054	1,0
$F_{530\uparrow}$	$F+2_{523\downarrow}$	3^+_c	—	1,7	$F_{743\uparrow}$	$F+2_{622\uparrow}$	1^-_c	1,472	1,2
$F_{651\uparrow}$	$F+1_{642\uparrow}$	1^+_c	—	1,8	$F_{633\downarrow}$	$F+1_{631\downarrow}$	2^+_c	—	1,6
$F+1_{642\uparrow}$	$F+2_{523\downarrow}$	$5^-_{0^-c}$	—	1,9	$F_{633\downarrow}$	$F_{743\uparrow}$	$6^-_{1^-c}$	—	1,6
$F_{651\uparrow}$	$F+2_{523\downarrow}$	$4^-_{1^-c}$	—	2,0	$F_{633\downarrow}$	$F+2_{622\uparrow}$	$5^+_{0^+c}$	—	1,6
$F_{400\uparrow}$	$F+2_{523\downarrow}$	3^+_c	—	2,1	$F_{743\uparrow}$	$F+3_{624\downarrow}$	$7^-_{0^-c}$	—	1,7
$F_{532\downarrow}$	$F+1_{642\uparrow}$	$4^-_{1^-c}$	—	2,2	$F+1_{631\downarrow}$	$F+3_{624\downarrow}$	$3^+_{4^+}$	—	1,8

Однофононные состояния

K^{π}	Энергия, Мэв		$B(E\lambda)_{s.p.u.}$		Структура, %			
	опыт	расчет	опыт	расчет				
0^-	0,685	0,5	23 ± 3	25,0	$nn\ 622\uparrow\ 752\uparrow\ 19$	$nn\ 624\downarrow\ 743\uparrow\ 19$	$pp\ 521\uparrow\ 651\uparrow\ 9$	$nn\ 633\downarrow\ 752\uparrow\ 3$
1^-	0,970	0,9	—	3,6	$nn\ 743\uparrow\ 622\uparrow\ 90$	$nn\ 743\uparrow\ 633\downarrow\ 2$	$pp\ 642\uparrow\ 521\uparrow\ 1$	$pp\ 651\uparrow\ 530\uparrow\ 1$
2^-	—	0,9	—	6,7	$pp\ 642\uparrow\ 530\uparrow\ 77$	$nn\ 743\uparrow\ 631\uparrow\ 5$	$nn\ 734\uparrow\ 622\uparrow\ 3$	$nn\ 734\uparrow\ 633\downarrow\ 1$
3^-	1,192	1,0	—	0,3	$nn\ 743\uparrow\ 631\downarrow\ 96$	$pp\ 530\uparrow\ 642\uparrow\ 1$	—	—
2^+	0,959	1,1	$4,2 \pm 0,4$	3,5	$nn\ 633\downarrow\ 631\downarrow\ 44$	$nn\ 631\uparrow\ 631\downarrow\ 14$	$nn\ 622\uparrow\ 631\downarrow\ 5$	$nn\ 743\uparrow\ 752\uparrow\ 4$

Таблица 13

Двухквазичастичные и однофононные состояния ^{238}U

Двухквазичастичные протонные состояния			Двухквазичастичные нейтронные состояния					
Конфигурация	K^{π}	Энергия, Мэв		Конфигурация	K^{π}	Энергия, Мэв		
		опыт	расчет			опыт	расчет	
F 530↑	$F+1$ 642↑	2^-c 3^-c	—	1,4	F 631↓	$F+1$ 622↑	3^+ 2^+c	(1,06) 1,1
F 530↑	$F+2$ 523↓	3^+ 2^+c	—	1,7	$F-1$ 743↑	$F+1$ 622↑	1^-c 6^-	— 1,1
$F-1$ 651↑	$F+1$ 642↑	1^+ 4^+	—	1,8	$F-1$ 743↑	F 631↓	4^- 3^-c	— 1,2
$F+1$ 642↑	$F+2$ 523↓	5^- 0^-c	—	1,9	F 631↓	$F+2$ 624↓	3^+ 4^+	— 1,4
$F-1$ 651↑	$F+2$ 523↓	4^- 1^-c	—	2,0	$F-1$ 743↑	$F+2$ 624↓	7^- 0^-c	— 1,4
$F-2$ 400↑	$F+2$ 523↓	3^+ 2^+c	—	2,1	$F+1$ 622↑	$F+2$ 624↓	6^+ 1^+	— 1,4
$F-3$ 532↓	$F+1$ 642↑	4^- 1^-c	—	2,2	F 631↓	$F+3$ 734↑	5^- 4^-	— 1,8

Однофононные состояния

K^{π}	Энергия, Мэв		$B(E\lambda)_{s.p.u.}$		Структура, %			
	опыт	расчет	опыт	расчет	опыт	расчет	опыт	расчет
0-	0,680	0,7	$27 \pm 2,5$	22,2	nn 624↓ 743↑ 35 pp 523↓ 642↑ 5	pp 521↑ 651↑ 9 pp 530↑ 400↑ 4	nn 622↑ 752↑ 8 pp 530↑ 660↑ 2	
2-	—	0,8	—	10,0	pp 642↑ 530↑ 61 nn 734↑ 633↓ 2	nn 734↑ 622↑ 16 nn 613↑ 501↑ 1	nn 743↑ 631↑ 2 pp 530↑ 651↑ 1	
1-	0,931	1,0	—	10,1	nn 743↑ 622↑ 74 nn 743↑ 633↓ 2	nn 734↑ 624↓ 2 pp 523↓ 402↓ 1	pp 642↑ 521↑ 2 pp 521↑ 400↑ 1	
2+	1,061	1,1	$2,9 \pm 0,23$	5,0	nn 633↓ 631↓ 20 nn 631↑ 631↓ 8	nn 622↑ 631↓ 13 pp 642↑ 660↑ 5	nn 622↑ 620↑ 10 nn 734↑ 752↑ 5	
3-	—	1,4	—	0,3	nn 743↑ 631↓ 90	pp 530↑ 642↑ 9	—	—

в табл. 12, двухфононные компоненты составляют 15—25 %. В работе [66] в (d, p)-реакции найдено два двухквазичастичных состояния, энергии и структура которых соответствуют результатам расчета (см. табл. 12).

Спектр возбуждения ^{238}U получен в β^- -распаде ^{238}Pa [59, 61], имеющем энергию 4 МэВ. Использовать e -захват на ^{238}Np для получения сведений о возбужденных состояниях ^{238}U невозможно, так как энергия этого процесса 140 кэВ. В работах [54, 67] изучался α -распад ^{242}Pu . Эти данные, а также результаты, полученные из кулоновского возбуждения [68, 69], (n, n') [70, 71] и (d, d') [72]-реакций, систематизированы в работах [1—3, 28]. Возбужденные состояния ^{238}U изучались также в (α, α') [30]-, (t, p) [33]-, (d, d') [29]- и (n, n') [34]-реакциях.

Результаты расчетов и экспериментальные данные для ^{238}U представлены в табл. 13 и 2. Хорошо установлены уровни с $K^\pi = 0^+, 2^+, 0^-, 1^-$, энергии которых и имеющиеся величины $B(E\lambda)$ вполне удовлетворительно передаются в расчетах. Двухфононные компоненты для этих состояний не превышают 10 %. В процессах кулоновского возбуждения наблюдаются два уровня с $K^\pi = 0^+$, близких по энергии: 925 и 993 кэВ [1—3, 68, 69], для которых $B(E2)$ равны $0,4 \pm 0,1$ и $1,4 \pm 0,2$ [30].

В табл. 2 даны результаты расчетов двух нижайших 0^+ -состояний в ^{238}U . Из таблицы видно, что оба они имеют сложную структуру, однако основной вклад в 0_1^+ дает β -вибрационный фонон, а в состояние 0_2^+ — двухфононная компонента (301, 301).

Заметим, что по два близких 0^+ -уровня наблюдалось также в (p, t)-реакциях в ^{238}Pu [73] и в ^{240}Pu [31]. В работе [32] исследованы 0^+ -состояния в ^{232}Th , ^{236}U , ^{238}U в (t, p)-реакции и установлено, что уровни 730 кэВ в ^{232}Th и 993 кэВ в ^{238}U (см. табл. 2) в (t, p)-реакции не возбуждаются, а уровень 920 кэВ в ^{236}U возбуждается очень слабо.

Результаты экспериментальных и теоретических исследований 0^+ -состояний в перечисленных ядрах указывают на сложную природу этих состояний. В настоящее время нет удовлетворительного однозначного описания всех наблюдаемых в экспериментах 0^+ -состояний.

6. ИЗОТОПЫ ПЛУТОНИЯ

Обсудим здесь неротационные состояния ядер ^{238}Pu и ^{240}Pu . Экспериментальные данные об уровнях ^{238}Pu получены из β^- -распада ^{238}Np [74], e -захвата на ^{238}Am [75], α -распада ^{242}Cm [37, 76—78] и систематизированы в работах [1—3, 28]. Возбужденные состояния ^{238}Pu исследовались также с помощью (p, t)-реакции [73] и кулоновского возбуждения в (α, α') [31]-процессе. В табл. 14 представлены результаты расчетов нижайших квадрупольных

Таблица 14
Двухквазичастичные и однофононные состояния ^{238}Pu

Двухквазичастичные протонные состояния			Двухквазичастичные нейтронные состояния						
Конфигурация	K^{π}	Энергия, Мэв							
			опыт	расчет	Конфигурация	K^{π}	Энергия, Мэв		
$F_{642\uparrow}$	$F+1_{523\downarrow}$	$5^-_{0^-c}$	—	1,1	$F_{743\uparrow}$	$F+1_{631\downarrow}$	$4^-_{3^-c}$	(1,082)	1,0
$F-1_{530\uparrow}$	$F+1_{523\downarrow}$	$3^+_{2^+c}$	—	1,8	$F_{743\uparrow}$	$F+2_{622\uparrow}$	$1^-c_6^-$	—	1,2
$F_{642\uparrow}$	$F+2_{521\uparrow}$	$1^-c_{4^-}$	—	1,8	$F-1_{633\downarrow}$	$F+1_{631\downarrow}$	$2^+c_{3^+}$	—	1,6
$F-1_{530\uparrow}$	$F_{642\uparrow}$	$2^-c_{3^-c}$	—	2,0	$F-1_{633\downarrow}$	$F_{743\uparrow}$	$6^-_{1^-c}$	—	1,6
$F+1_{523\downarrow}$	$F+2_{521\uparrow}$	$4^+_{1^+}$	—	2,0	$F-1_{633\downarrow}$	$F+2_{622\uparrow}$	$5^+_{0^+c}$	—	1,6
$F-1_{530\uparrow}$	$F+2_{521\uparrow}$	$1^+_{4^+}$	—	2,0	$F_{743\uparrow}$	$F+3_{624\downarrow}$	$7^-_{0^-c}$	—	1,7
$F_{642\uparrow}$	$F+3_{633\uparrow}$	$1^+_{6^+}$	—	2,1	$F+1_{631\downarrow}$	$F+3_{624\downarrow}$	$3^+_{4^+}$	—	1,8

Однофононные состояния

K^{π}	Энергия, Мэв		$B(E\Lambda)_{s.p.u.}$		Структура, %			
	опыт	расчет	опыт	расчет				
0^-	0,605	0,5	30 ± 5	31,8	$nn 624\downarrow 743\uparrow 16$	$nn 622\uparrow 752\uparrow 16$	$pp 523\downarrow 642\uparrow 12$	$pp 512\uparrow 642\uparrow 3$
1^-	0,963	0,9	—	3,5	$nn 743\uparrow 622\uparrow 89$	$pp 642\uparrow 521\uparrow 4$	$nn 743\uparrow 633\downarrow 2$	
3^-	—	1,0	—	0,3	$nn 743\uparrow 631\downarrow 99$			
2^+	1,028	1,1	—	3,2	$nn 633\downarrow 631\downarrow 46$	$nn 631\uparrow 631\downarrow 14$	$nn 622\uparrow 631\downarrow 6$	$pp 633\uparrow 651\uparrow 2$
2^-	1,310	1,2	—	11,8	$nn 743\uparrow 631\downarrow 23$	$pp 642\uparrow 530\uparrow 19$	$nn 734\uparrow 622\uparrow 13$	$nn 613\uparrow 501\uparrow 2$

Таблица 15

Двухквазичастичные и однофононные состояния ^{240}Pu

Двухквазичастичные протонные состояния			Двухквазичастичные нейтронные состояния							
Конфигурация	K^{π}	Энергия, Мэв				Конфигурация	K^{π}	Энергия, Мэв		
			опыт	расчет						
F 642↑	$F+1$ 523↓	5^- 0^-c	1,308	1,2		F 631↓	$F+1$ 622↑	3^+ 2^+c	1,031	1,1
$F-1$ 530↑	$F+1$ 523↓	3^+ 2^+c	—	1,8		$F-1$ 743↑	$F+1$ 622↑	1^-c 6^-	—	1,1
F 642↑	$F+2$ 521↑	4^-c 4^-	—	1,8		$F-1$ 743↑	F 631↓	4^- 3^-c	—	1,2
$F-1$ 530↑	F 642↑	2^-c 3^-c	—	2,0		F 631↓	$F+2$ 624↓	3^+ 4^+	—	1,4
$F+1$ 523↓	$F+2$ 521↑	4^+ 4^+	—	2,0		$F-1$ 743↑	$F+2$ 624↓	7^- 0^-c	—	1,4
$F-1$ 530↑	$F+2$ 521↑	4^+ 4^+	—	2,0		$F+1$ 622↑	$F+2$ 624↓	6^+ 1^+	—	1,4

Однофононные состояния

K^{π}	Энергия, Мэв		$B(E\lambda)_{s.p.u.}$		Структура, %					
	опыт	расчет	опыт	расчет	опыт	расчет	опыт	расчет	опыт	расчет
0^-	0,597	0,7	$17 \pm 2,5$	20,5	nn 624↑ 743↑ 33		pp 523↓ 642↑ 12		pp 521↑ 651↑ 9	
					nn 622↑ 752↑ 8		pp 512↑ 642↑ 2		nn 613↑ 743↑ 2	
2^+	0,938	0,9	$1,8 \pm 0,4$	0,2	nn 622↑ 631↓ 98		—	—	—	—
1^-	—	1,0	—	9,5	nn 743↑ 622↑ 72		pp 642↑ 521↑ 8		nn 734↑ 624↓ 2	
					nn 743↑ 633↓ 2		pp 523↓ 402↓ 1		pp 521↑ 400↑ 4	
2^-	0,959	1,0	—	13,8	nn 734↑ 622↑ 42		pp 642↑ 530↑ 13		nn 743↑ 631↑ 5	
					nn 734↑ 633↓ 4		nn 613↑ 501↑ 2		pp 633↑ 521↑ 2	
3^-	—	1,1	—	0,3	nn 743↑ 631↓ 99		—	—	—	—
2^+	(1,559)	1,4	—	3,2	nn 633↓ 631↓ 35		nn 622↑ 620↑ 10		nn 631↑ 631↓ 9	
					nn 734↑ 752↑ 6		pp 633↑ 651↑ 3		pp 521↑ 530↑ 3	

и октупольных состояний ядра ^{238}Pu и имеющиеся экспериментальные данные. В настоящее время хорошо установленными можно считать γ -вибрационное состояние с энергией 1028 кэв и октупольное состояние с $K^\pi = 0^-$ с энергией 605 кэв. Эти состояния хорошо передаются в расчетах. Примеси к однофононным компонентам не превышают 10%. Состояние с $K^\pi = 0^+$ наблюдалось во многих работах [37, 74–78], причем в работе [73] установлено два близких 0^+ -состояния: 945 и 1134 кэв. Результаты расчетов с учетом ангармоничности, представленные в табл. 2, показывают, что первое 0^+ -состояние является, в основном, однофононным, а второе — имеет сложную структуру с большой двухфононной компонентой (301, 301). Энергии этих состояний передаются удовлетворительно.

Возбужденные состояния ^{240}Pu изучались в β^- -распаде метастабильного состояния $T_{1/2} = 7,4$ мин ядра ^{240}Np [79], в β^- -распаде основного состояния ^{240}Np [48, 79], в e -захвате на ^{240}Am [80] и в α -распаде ^{244}Cm [76, 77]. В работе [31] уровни ядра ^{240}Pu исследованы с помощью (p, t)-реакции, а в работе [30] — с помощью кулоновского возбуждения в (α, α') -процессе. В β^- -распаде состояния $T_{1/2} = 7,4$ мин ^{240}Np установлены неротационные состояния с $K^\pi = 0^-, 2^-, 0^+$. В работе [30] определены величины $B(E\lambda)$ для переходов на уровни с $K^\pi = 2^+$ (938 кэв) и $K^\pi I = 0^- 3$ (661 кэв).

Энергии октупольных состояний с $K^\pi = 0^-, 2^-$ ^{240}Pu хорошо передаются в расчете (табл. 15). Видно, что первое $K^\pi = 2^+$ -состояние — двухквазичастичное, а второе — коллективное. Небольшое увеличение $\chi^{(2)}$ может привести к тому, что первое состояние станет коллективным, а второе — двухквазичастичным.

Экспериментально установлено, что β^- -распад основного состояния ^{240}Np и e -захват на ^{240}Am идут полностью на двухквазичастичные состояния 1308 кэв 5^- и 1031 кэв -3^+ соответственно, которые хорошо описываются теоретически (см. табл. 15).

В (p, t)-реакции [31] наблюдались два близких уровня 0^+ в ^{240}Pu : 862 и 1091 кэв, причем из анализа значений сечений возбуждения сделан вывод, что эти уровни отличаются от чистых β -вибраций и от простых парных вибраций. В работе [81] на основе анализа данных из β^- -распада ^{240}Np доказывается, что уровень 1410 кэв с $K^\pi = 0^+$ является двухфононным октупольным состоянием.

Результаты расчетов 0^+ -состояний, представленные в табл. 2, показывают, что первые два 0^+ -состояния имеют сложную структуру: в первое из них основной вклад дает квадрупольный фонон, а во второе — двухфононная компонента (301, 301), что соответствует выводу о структуре 0^+ -состояния 1410 кэв, сделанному в работе [81].

7. ИЗОТОПЫ КЮРИЯ И ТРАНСКЮРИЕВЫХ ЭЛЕМЕНТОВ

Проанализируем экспериментальные данные и расчеты неротационных состояний четно-четных изотопов кюрия, калифорния, фермия, элемента с $Z = 102$ и курчатовия. К настоящему времени эти ядра меньше экспериментально изучены, чем более легкие актоиды. Экспериментальные данные, полученные из α -, β -распадов и e -захвата, систематизированы в работах [1—3, 28].

Ядро ^{244}Cm изучалось с помощью β^- -распада ^{244}Am и электронного захвата на ^{244}Bk , имеющих энергию распада около 1,5 и 2,3 Мэв соответственно, а также в α -распаде ^{248}Cf . Кроме ротационной полосы основного состояния хорошо идентифицированным является лишь уровень 1042 кэв с $K^\pi = 6^+$, на который идет 100% β^- -распада из основного состояния ^{244}Am , имеющего структуру $p523 \downarrow n624 \downarrow$. В наших расчетах (табл. 16) ему соответствует двухквазичастичное состояние 1,0 Мэв, $n n622 \uparrow 624 \downarrow$, что хорошо согласуется с экспериментом.

Ядро ^{244}Cm изучалось также в работе [30] с помощью кулоновского возбуждения в (α, α') -реакции, однако данных о положении оснований ротационных полос не получено.

Ядро ^{246}Cm является наиболее хорошо изученным изотопом кюрия. Спектр возбуждения ^{246}Cm получен в β^- -распаде двух изомеров ^{246}Am : $T_{1/2} = 25$ и 39 мин, имеющих энергию распада 2,3 Мэв, а также в процессах электронного захвата на ^{246}Bk и α -распада ^{250}Cf . В работе [31] ((p, t) -реакция) приводятся данные об уровне 1176 кэв с $K^\pi = 0^+$. Энергии первых квадрупольных и октупольных состояний с $K^\pi = 0^-, 1^-, 2^-$ переданы в расчетах хорошо (табл. 17). В (α, α') -реакции наблюдался [30] уровень 1124 кэв с $K^\pi = 2^+$, что подтверждает ранее известную энергию этого состояния; величина $B(E2, 0_g \rightarrow I = 2, K = 2)_\text{эксп}$ согласуется с результатами расчета.

В β^- -распаде изомера ^{246}Am , $T_{1/2} = 39$ мин, хорошо виден уровень 8^- , не входящий в ротационные полосы на октупольных состояниях. Согласно расчетам, двухквазичастичное состояние $n n624 \downarrow 734 \uparrow K^\pi = 8^-$ имеет энергию 0,8 Мэв и может заселяться при β -переходе из состояния $p523 \downarrow + n734 \uparrow$. При β -распаде из состояний $p523 \downarrow \pm n734 \uparrow$ должно наблюдаться несколько двухквазичастичных состояний, приведенных в табл. 17.

В спектре возбуждения ^{248}Cm установлена лишь ротационная полоса основного состояния [3]. Некоторые возбужденные уровни положительной и отрицательной четности установлены в работе [30], однако положение оснований ротационных полос не определено. Имеется α -переход из ^{252}Cf на коллективное состояние с энергией 0,68 Мэв, однако квантовые числа этого уровня не

Таблица 16
Двухквазичастичные и однофононные состояния ^{244}Cm

Двухквазичастичные протонные состояния				Двухквазичастичные нейтронные состояния					
Конфигурация	K^π	Энергия, Мэв		Конфигурация	K^π	Энергия, Мэв			
		опыт	расчет			опыт	расчет		
F	$F+1$	4^+	—	1,3	F	$F+1$	6^+	1,042	1,0
523↓	521↑	1^+			622↑	624↓	1^+		
F	$F+2$	6^-	—	1,4	$F-1$	$F+1$	7^-	—	1,1
523↓	633↑	1^{-c}			743↑	624↓	0^{-c}		
$F-1$	$F+1$	1^{-c}	—	1,6	$F-2$	$F+1$	3^+	—	1,2
642↑	521↑	4^-			631↓	624↓	4^+		
$F-1$	$F+2$	1^+	—	1,6	F	$F+2$	2^{-c}	—	1,3
642↑	633↑	6^+			622↑	734↑	7^-		
$F+1$	$F+2$	2^{-c}	—	1,9	$F-1$	$F+2$	1^+	—	1,4
521↑	633↑	5^-			743↑	734↑	8^+		
$F-1$	F	5^-	—	2,0	$F-2$	$F+2$	5^-	—	1,4
642↑	523↓	0^{-c}			631↓	734↑	4^-		
$F-2$	$F+1$	1^+	—	2,1	$F+1$	$F+2$	1^{-c}	—	1,5
530↑	521↑	2^{-c}			624↑	734↑	8^-		
$F-2$	$F+2$	3^{-c}	—	2,1	$F-1$	F	1^{-c}	—	1,6
530↑	633↑	4^-			743↑	622↑	6^-		

Однофононные состояния							
K^π	Энергия, Мэв	B ($E\lambda$) _{s.p.u.}		Структура, %			
		опыт	расчет	опыт	расчет	опыт	расчет
2^-	—	0,96	—	5,4	nn 734↑ 622↑ 77	pp 633↑ 521↑ 4	nn 734↑ 633↓ 4
					nn 725↑ 624↓ 2	pp 514↓ 651↑ 1	nn 624↓ 501↑ 1
0^-	—	1,0	—	13,5	nn 624↓ 743↑ 51	pp 402↓ 521↑ 5	pp 642↑ 523↓ 3
					nn 600↑ 501↓ 2	pp 642↑ 512↑ 2	nn 602↓ 761↑ 2
2^+	—	1,20	—	3,0	nn 622↑ 620↑ 34	nn 624↓ 622↓ 17	nn 734↑ 752↑ 6
					pp 521↑ 530↑ 4	nn 633↓ 631↓ 4	pp 633↑ 402↓ 4
1^-	—	1,20	—	2,1	pp 633↑ 523↓ 74	nn 734↑ 624↓ 8	nn 743↑ 622↑ 7
					pp 642↑ 521↑ 6	—	—
1^-	—	1,30	—	2,6	nn 743↑ 622↑ 29	pp 633↑ 523↓ 25	nn 734↑ 624↓ 23
					pp 642↑ 521↑ 16	pp 521↑ 400↑ 1	nn 743↑ 633↓ 1
3^-	—	1,71	—	0,9	nn 743↑ 631↓ 77	pp 633↑ 530↑ 15	nn 725↑ 622↑ 2
					nn 734↑ 631↑ 1	nn 615↓ 501↑ 1	nn 725↑ 633↓ 1

Таблица 17

Двухквазичастичные и однофононныe состояния ^{246}Cm

Двухквазичастичные протонные состояния				Двухквазичастичные нейтронные состояния					
Конфигурация	K^{π}	Энергия, Мэв		Конфигурация	K^{π}	Энергия, Мэв			
		опыт	расчет			опыт	расчет		
F 523↓	$F+1$ 521↑	4+	—	1,3	F 624↓	$F+1$ 734↑	8-	—	0,8
F 523↓	$F+2$ 633↑	6-	—	1,4	F 624↓	$F+2$ 613↑	7+	—	1,3
$F-1$ 642↑	$F+1$ 521↑	1-c	—	1,6	$F-1$ 622↑	$F+1$ 734↑	2-c	—	1,5
$F-1$ 642↑	$F+2$ 633↑	1+	—	1,6	$F+1$ 734↑	$F+2$ 613↑	1-c	—	1,5
$F+1$ 521↑	$F+2$ 633↑	2-c	—	1,9	$F-2$ 743↑	$F+1$ 734↑	1+	—	1,5
$F-1$ 642↑	F 523↓	5-	—	2,0	$F-3$ 631↓	$F+1$ 734↑	5-	—	1,6
$F-2$ 530↑	$F+1$ 524↑	1+	—	2,1	$F-4$ 622↑	F 624↓	6+	—	1,6
$F-2$ 530↑	$F+2$ 633↑	2+c	—	2,1	F 624↓	$F+2$ 620↑	4+	—	1,7

Однофононныe состояния

K^{π}	Энергия, Мэв		$B(E\lambda)_{s.p.u.}$		Структура, %			
	опыт	расчет	опыт	расчет	опыт	расчет	опыт	расчет
2-	0,843	0,9	—	3,0	nn 734↑ 622↑ 44	pp 633↑ 521↑ 16	nn 725↑ 624↓ 10	
					nn 725↑ 613↑ 3	nn 734↑ 633↓ 2	nn 613↑ 504↑ 2	
0-	1,25	1,0	—	16,2	nn 624↓ 743↑ 27	pp 521↑ 651↑ 6	pp 523↓ 642↑ 5	
					pp 521↑ 402↓ 4	nn 600↑ 501↓ 4	nn 615↓ 734↑ 3	
1-	1,079	1,0	—	1,4	nn 734↑ 624↓ 81	nn 734↑ 613↑ 5	pp 642↑ 511↑ 4	
					nn 743↑ 622↑ 1	pp 521↑ 660↑ 1	—	—
2+	1,126	1,1 (4,9±1,0)	2,9		nn 624↓ 622↑ 34	nn 622↑ 620↑ 24	nn 734↑ 752↑ 5	
					nn 725↑ 743↑ 3	pp 521↑ 530↑ 3	pp 523↓ 521↓ 2	
0+	1,176	1,2	—	0,3	nn 624↓ 624↓ 44	nn 734↑ 734↑ 38	nn 613↑ 624↓ 7	
					nn 613↑ 613↑ 1	pp 631↓ 631↓ 1	pp 642↑ 642↑ 1	

Таблица 18
Двухквазичастичные и однофононные состояния ^{248}Cm

Двухквазичастичные протонные состояния			Двухквазичастичные нейтронные состояния						
Конфигурация	K^π	Энергия, Мэв		Конфигурация	K^π	Энергия, Мэв			
		опыт	расчет			опыт	расчет		
F 523↓	$F+1$ 521↑	4+	—	1,3	F 734↑	$F+1$ 613↑	1-с	—	1,2
F 523↓	$F+2$ 633↑	6-	—	1,4	$F-1$ 624↓	$F+1$ 613↑	7+	—	1,2
$F-1$ 642↑	$F+1$ 521↑	1-с	—	1,6	F 734↑	$F+2$ 620↑	4-	—	1,4
$F-1$ 642↑	$F+2$ 633↑	4-	—	1,6	$F-1$ 624↓	$F+2$ 620↑	5-	—	1,4
$F+1$ 521↑	$F+2$ 633↑	1+	—	1,6	F 734↑	$F+3$ 725↑	4+	—	1,4
$F+1$ 521↑	$F+2$ 633↑	6+	—	1,9	F 734↑	$F+3$ 725↑	10+	—	1,6
$F-1$ 642↑	F 523↓	5-	—	2,0	$F-1$ 624↓	F 734↑	8-	—	1,6
$F-2$ 530↑	$F+1$ 521↑	0-с	—	2,1	$F-1$ 624↓	$F+3$ 725↑	1-с	—	1,6
		2+ 2-с	—		F 734↑	$F+4$ 622↓	9-	—	1,6
		2+ 2-с	—				3-с	—	1,6

Однофононные состояния

K^π	Энергия, Мэв		$B(E\lambda)_{s.p.u.}$		Структура, %
	опыт	расчет	опыт	расчет	
2+	—	0,90	—	2,6	nn 624↓ 622↓ 39 pp 633↑ 402↓ 2
0+	—	1,00	—	0,2	nn 734↑ 734↑ 25 nn 615↓ 615↓ 9
2-	—	1,00	—	10,4	pp 633↑ 521↑ 29 nn 725↑ 613↑ 7
0-	—	1,10	—	14,2	nn 615↓ 734↑ 32 nn 624↓ 743↑ 4
1-	—	1,10	—	5,1	nn 734↑ 624↑ 38 pp 633↑ 523↓ 1
3-	—	1,54	—	0,5	nn 734↑ 622↓ 93 pp 633↑ 530↑ 1

Таблица 19

Двухквазичастичные и однофононныe состояния ^{248}Cf

Двухквазичастичные протонные состояния				Двухквазичастичные нейтронные состояния					
Конфигурация	K^{π}	Энергия, Мэв		Конфигурация	K^{π}	Энергия, Мэв			
		опыт	расчет			опыт	расчет		
F 521↑	$F+1$ 633↑	2^-c 5^-	—	0,9	F 624↓	$F+1$ $734↑$	8^- 1^-c	—	0,8
F 521↑	$F+2$ 514↓	5^+ 2^+c	—	1,7	F 624↓	$F+2$ $613↑$	7^+ 0^+c	—	1,3
$F-1$ 523↓	$F+1$ 633↑	6^- 1^-c	—	1,8	$F-1$ 622↑	$F+1$ $734↑$	2^-c 7^-	—	1,5
$F+1$ 633↑	$F+2$ 514↓	7^- 0^-c	—	1,8	$F+1$ 734↑	$F+2$ $613↑$	1^-c 8^-	—	1,5
$F-1$ 523↓	F 521↑	4^+ 1^+	—	1,8	$F-2$ 743↑	$F+1$ $734↑$	1^+ 8^+	—	1,5
$F-2$ 642↑	$F+1$ 633↑	1^+ 6^+	—	2,0	$F-3$ 631↓	$F+1$ $734↑$	5^- 4^-	—	1,6
$F-2$ 642↑	F 521↑	1^-c 4^-	—	2,0	$F-1$ 622↑	F $624↓$	6^+ 1^+	—	1,6
Однофононныe состояния									
K^{π}	Энергия, Мэв	$B(E\lambda)_{S.p.u.}$		Структура, %					
		опыт	расчет	опыт	расчет	опыт	расчет	опыт	расчет
1-	—	0,7	—	0,07	nn 734↑ 624↓ 100	—	—	—	—
2-	0,593	0,7	—	7,3	pp 633↑ 521↑ 65 nn 734↑ 633↓ 2	nn 734↑ 622↑ 16 pp 514↓ 651↑ 1	nn 725↑ 624↓ 6 nn 631↓ 752↓ 1	nn 725↑ 624↓ 6 nn 631↓ 752↓ 1	
0+	—	1,00	—	0,4	nn 624↓ 624↓ 52 pp 514↓ 514↓ 2	nn 734↑ 734↑ 36 pp 633↑ 633↑ 1	nn 613↑ 624↓ 5 nn 615↓ 615↓ 1	nn 613↑ 624↓ 5 nn 615↓ 615↓ 1	
0-	—	1,10	—	12,4	nn 624↓ 743↑ 38 nn 400↑ 501↓ 3	pp 633↑ 514↓ 12 pp 402↓ 521↑ 3	nn 615↓ 734↑ 5 pp 642↑ 512↑ 3	nn 615↓ 734↑ 5 pp 642↑ 512↑ 3	
2+	—	1,20	—	1,8	nn 624↓ 622↓ 47 nn 622↓ 620↑ 3	nn 622↑ 620↑ 24 nn 734↑ 752↑ 2	pp 521↑ 521↓ 5 nn 725↑ 743↑ 2	pp 521↑ 521↓ 5 nn 725↑ 743↑ 2	
2-	1,477	1,35	—	0,6	nn 734↑ 622↑ 62 nn 734↑ 633↓ 1	pp 633↑ 521↑ 30	nn 725↑ 624↓ 4 nn 615↓ 501↑ 1	nn 725↑ 624↓ 4 nn 615↓ 501↑ 1	
3-	—	1,83	—	1,0	nn 734↑ 622↓ 70 nn 716↑ 624↓ 2	pp 624↑ 521↑ 16 pp 633↑ 530↑ 1	nn 725↑ 622↑ 4 nn 615↓ 501↑ 1	nn 725↑ 622↑ 4 nn 615↓ 501↑ 1	

Таблица 20
Двухквазичастичные и однофононные состояния ^{250}Cf

Двухквазичастичные протонные состояния				Двухквазичастичные нейтронные состояния					
Конфигурация	K^{π}	Энергия, Мэв		Конфигурация	K^{π}	Энергия, Мэв			
		опыт	расчет			опыт	расчет		
F $633\uparrow$	$F+1$ $521\uparrow$	2^-c 5^-	—	1,0	F $734\uparrow$	$F+1$ $613\uparrow$	1^-c 8^-	—	1,2
F $633\uparrow$	$F+2$ $514\downarrow$	7^- 0^-c	—	1,8	$F-1$ $624\downarrow$	$F+1$ $613\uparrow$	7^+ 0^+c	—	1,2
$F+1$ $521\uparrow$	$F+2$ $514\downarrow$	5^+ 2^+c	—	1,9	F $734\uparrow$	$F+2$ $620\uparrow$	4^- 5^-	—	1,4
$F-1$ $642\uparrow$	$F+1$ $521\uparrow$	1^-c 4^-	—	2,1	$F-1$ $624\downarrow$	$F+2$ $620\uparrow$	4^+ 3^+	—	1,4
$F-2$ $400\uparrow$	$F+1$ $521\uparrow$	1^-c 2^-c	—	2,1	F $734\uparrow$	$F+3$ $725\uparrow$	1^+ 10^+	—	1,6
$F-3$ $523\downarrow$	$F+1$ $521\uparrow$	4^+ 1^+	—	2,1	$F-1$ $624\downarrow$	F $734\uparrow$	8^- 1^-c	—	1,6
$F-1$ $642\uparrow$	F $633\uparrow$	1^+ 6^+	—	2,2	$F-1$ $624\downarrow$	$F+3$ $725\uparrow$	9^- 2^-c	—	1,6
$F-2$ $400\uparrow$	F $633\uparrow$	3^+ 4^+	—	2,2	F $734\uparrow$	$F+4$ $622\downarrow$	6^- 3^-c	—	1,6

Однофононные состояния

K^{π}	Энергия, Мэв		$B(E\lambda)_{S.p.u.}$		Структура, %			
	опыт	расчет	опыт	расчет				
0^+	—	0,9	—	5,3	$nn734\uparrow$ 734↑ 24	$nn613\uparrow$ 624↑ 19	$nn613\uparrow$ 613↑ 13	
					$nn725\uparrow$ 725↑ 4	$pp514\downarrow$ 514↓ 4	$nn615\downarrow$ 615↓ 4	
2^+	1,032	0,9	—	5,2	$nn624\downarrow$ 622↓ 38	$nn622\uparrow$ 620↑ 16	$nn622\downarrow$ 620↑ 16	
					$pp521\uparrow$ 521↑ 4	$nn613\uparrow$ 611↑ 2	$pp523\downarrow$ 521↓ 2	
2^-	0,871	1,0	—	6,8	$pp633\uparrow$ 521↑ 38	$nn725\uparrow$ 624↓ 20	$nn725\uparrow$ 613↑ 10	
					$nn734\uparrow$ 622↑ 5	$pp514\downarrow$ 651↑ 2	$nn613\uparrow$ 761↑ 2	
1^-	1,176	1,0	—	11,9	$nn734\uparrow$ 624↓ 28	$nn734\uparrow$ 613↑ 24	$pp642\uparrow$ 521↑ 6	
					$nn620\uparrow$ 770↑ 2	$pp521\uparrow$ 660↑ 2	$nn752\uparrow$ 622↑ 2	
0^-	—	1,1	—	13,4	$pp633\uparrow$ 514↓ 6	$nn611\downarrow$ 501↓ 5	$nn602\downarrow$ 501↑ 5	
					$nn600\uparrow$ 770↑ 4	$nn615\downarrow$ 734↑ 4	$nn606\uparrow$ 716↑ 4	

Таблица 21

Двухквазичастичные и однофононныесостояния ^{252}Cf

Двухквазичастичные протонные состояния				Двухквазичастичные нейтронные состояния					
Конфигурация	K^{π}	Энергия, Мэв		Конфигурация	K^{π}	Энергия, Мэв			
		опыт	расчет			опыт	расчет		
F 633↑	$F+1$ 521↑	2^-c 5^-	—	1,0	F 613↑	$F+1$ 620↑	3^+ 4^+	0,97 —	1,1 —
F 633↑	$F+2$ 514↓	7^- 0^-c	—	1,8	F 613↑	$F+2$ 725↑	2^-c 9^-	— —	1,3 —
$F+1$ 521↑	$F+2$ 514↓	5^+ 2^+c	—	1,9	F 613↑	$F+3$ 622↑	5^+ 2^+c	— —	1,3 —
$F-1$ 642↑	$F+1$ 521↑	4^-c 4^-	—	2,1	$F+1$ 620↑	$F+2$ 725↑	5^- 6^-	— —	1,4 —
$F-2$ 400↑	$F+1$ 521↑	4^-c 2^-c	—	2,1	$F+1$ 620↑	$F+3$ 622↑	2^+c 4^+	— —	1,5 —
$F-3$ 523↓	$F+1$ 521↑	4^+ 4^+	—	2,1	$F-1$ 734↑	$F+1$ 620↑	4^- 5^-	— —	1,6 —
$F-1$ 642↑	F 633↑	1^+ 6^+	—	2,2	$F-1$ 734↑	F 613↑	1^-c 8^-	— —	1,6 —
$F-2$ 400↑	F 633↑	3^+ 4^+	—	2,2	$F+2$ 725↑	$F+3$ 622↑	7^- 4^-	— —	1,7 —

Однофононныесостояния

K^{π}	Энергия, Мэв		$B(E\lambda)_{S.p.u.}$		Структура, %		
	опыт	расчет	опыт	расчет			
2^+	0,805	0,7	—	5,7	$nn622\downarrow 620\uparrow 43$ $nn613\uparrow 611\uparrow 4$	$nn624\downarrow 622\downarrow 22$ $pp521\uparrow 521\downarrow 3$	$nn622\uparrow 620\uparrow 8$ $pp523\downarrow 521\downarrow 1$
2^-	0,831	0,9	—	8,8	$nn725\uparrow 613\uparrow 33$ $pp514\downarrow 651\uparrow 1$	$pp633\uparrow 521\uparrow 31$ $nn611\uparrow 770\uparrow 1$	$nn725\uparrow 624\downarrow 13$ $nn734\uparrow 622\uparrow 1$
0^-	—	1,0	—	15,8	$nn611\downarrow 501\downarrow 5$ $nn602\downarrow 501\uparrow 5$	$nn620\uparrow 761\uparrow 5$ $nn600\uparrow 700\uparrow 4$	$pp633\uparrow 514\downarrow 5$ $nn615\downarrow 734\uparrow 4$
1^-	—	1,0	—	18,2	$nn734\uparrow 613\uparrow 15$ $nn725\uparrow 615\downarrow 4$	$pp642\uparrow 521\uparrow 8$ $pp521\uparrow 660\uparrow 3$	$nn734\uparrow 624\uparrow 5$ $nn620\uparrow 761\downarrow 3$
0^+	—	1,1	—	6,1	$nn613\uparrow 624\downarrow 16$ $nn613\uparrow 613\uparrow 8$	$nn620\uparrow 620\uparrow 14$ $nn734\uparrow 734\uparrow 8$	$nn615\downarrow 615\downarrow 10$ $pp514\downarrow 514\downarrow 6$

Таблица 22

Двухквазичастичные и однофононные состояния ^{254}Fm

Двухквазичастичные протонные состояния				Двухквазичастичные нейтронные состояния					
Конфигурация	K^{π}	Энергия, МэВ		Конфигурация	K^{π}	Энергия, МэВ			
		опыт	расчет			опыт	расчет		
F 521↑	$F+1$ 514↓	5^+ 2^+c	—	1,3	F 613↑	$F+1$ 620↑	3^+ 4^+	—	1,1
$F-1$ 633↑	$F+1$ 514↓	7^- 0^-c	—	1,3	F 613↑	$F+2$ 725↑	2^-c 9^-	—	1,3
F 521↑	$F+2$ 624↑	3^-c 6^-	—	1,7	F 613↑	$F+3$ 622↓	5^+ 2^+c	—	1,3
$F-1$ 633↑	$F+2$ 624↑	1^+ 8^+	—	1,8	$F+1$ 620↑	$F+2$ 725↑	5^- 6^-	—	1,4
F 521↑	$F+3$ 521↑	2^+c 1^+	—	1,9	$F+1$ 620↑	$F+3$ 622↓	2^+c 1^+	—	1,5
$F-1$ 633↑	$F+3$ 521↓	4^- 3^-c	—	2,0	$F-1$ 734↑	$F+1$ 620↑	4^- 5^-	—	1,6
$F-1$ 633↑	F 521↓	2^-c 5^-	—	2,0	$F-1$ 734↑	F 613↑	4^-c 8^-	—	1,6
$F+1$ 514↓	$F+2$ 624↑	8^- 1^-c	—	2,1	$F+2$ 725↑	$F+3$ 622↑	7^- 4^-	—	1,7

Однофононные состояния

K^{π}	Энергия, МэВ		$B(E\lambda)_{S.p.u.}$		Структура, %								
	опыт	расчет	опыт	расчет	опыт	расчет	опыт	расчет					
2^+	0,693	0,8	—	4,6	$nn622\downarrow$ $pp521\uparrow$	$620\uparrow$ $521\downarrow$	45 6	$nn624\downarrow$ $nn613\uparrow$	$622\downarrow$ $611\uparrow$	22 4	$nn622\uparrow$ $pp523\downarrow$	$620\uparrow$ $521\downarrow$	7 1
2^-	—	1,0	—	4,9	$nn725\uparrow$ $pp514\downarrow$	$613\uparrow$ $651\uparrow$	45 1	$nn725\uparrow$ $nn611\uparrow$	$624\downarrow$ $770\uparrow$	17 1	$pp633\uparrow$ $nn734\uparrow$	$521\uparrow$ $622\uparrow$	12 1
0^-	—	1,1	—	12,7	$pp633\uparrow$ $nn602\downarrow$	$514\downarrow$ $501\uparrow$	11 4	$nn611\downarrow$ $nn615\downarrow$	$501\downarrow$ $734\uparrow$	5 4	$nn620\uparrow$ $nn600\uparrow$	$761\downarrow$ $770\uparrow$	5 4
0^+	—	1,1	—	3,1	$pp514\downarrow$ $nn613\uparrow$	$514\downarrow$ $624\downarrow$	25 9	$pp633\uparrow$ $nn620\uparrow$	$633\uparrow$ $620\uparrow$	12 8	$pp521\uparrow$ $nn615\downarrow$	$521\uparrow$ $615\downarrow$	11 5
1^-	—	1,2	—	15,0	$nn734\uparrow$ $nn725\uparrow$	$613\uparrow$ $615\downarrow$	20 4	$nn734\uparrow$ $nn620\uparrow$	$624\downarrow$ $761\downarrow$	6 3	$pp633\uparrow$ $nn622\downarrow$	$512\uparrow$ $761\downarrow$	5 3

Таблица 23

Двухквазичастичные и однофононные состояния ^{256}Fm

Двухквазичастичные нейтронные состояния				Двухквазичастичные нейтронные состояния					
Конфигурация	K^{π}	Энергия, Мэв		Конфигурация	K^{π}	Энергия, Мэв			
		опыт	расчет			опыт	расчет		
F 521↑	$F+1$ 514↓	5 ⁺ 2 ^{+c}	—	1,3	F 620↑	$F+1$ 725↑	5 ⁻ 6 ⁻	—	1,2
$F-1$ 633↑	$F+1$ 514↓	7 ⁻ 0 ^{-c}	—	1,3	F 620↑	$F+2$ 622↓	2 ^{+c} 1 ⁺	—	1,2
F 521↑	$F+2$ 624↑	3 ^{-c} 6 ⁻	—	1,7	$F-1$ 613↑	$F+1$ 725↑	2 ^{-c} 9 ⁻	—	1,3
$F-1$ 633↑	$F+2$ 624↑	1 ⁺ 8 ⁺	—	1,8	$F-1$ 613↑	F 620↑	3 ⁺ 4 ⁺	—	1,3
F 521↑	$F+3$ 521↓	2 ^{+c} 1 ⁺	—	1,9	$F-1$ 613↑	$F+2$ 622↓	5 ⁺ 2 ^{+c}	—	1,3
$F-1$ 633↑	$F+3$ 521↓	4 ⁻ 3 ^{-c}	—	2,0	$F+1$ 725↑	$F+2$ 622↓	7 ⁻ 4 ⁻	—	1,3
$F-1$ 633↑	F 521↑	2 ^{-c} 5 ⁻	—	2,0	F 620↑	$F+3$ 615↓	5 ⁺ 4 ⁺	—	1,7

Однофононные состояния								
K^{π}	Энергия, Мэв		$B(E\lambda)_{s.p.u.}$		Структура, %			
	опыт	расчет	опыт	расчет				
2 ⁺	—	0,7	—	5,3	$nn622\downarrow$ 620↑ 57 $pp521\uparrow$ 521↓ 6	$nn624\downarrow$ 622↓ 12 $nn622\uparrow$ 620↑ 3	$nn613\uparrow$ 614↑ 6 $nn615\downarrow$ 613↓ 1	
0 ⁻	—	0,8	—	17,2	$nn620\uparrow$ 761↓ 9 $nn611\downarrow$ 501↓ 5	$pp633\uparrow$ 613↑ 7 $nn602\downarrow$ 501↑ 4	$nn622\downarrow$ 752↓ 5 $nn600\uparrow$ 770↑ 4	
0 ⁺	—	0,9	—	5,0	$pp514\downarrow$ 514↓ 21 $pp633\uparrow$ 633↑ 10	$nn615\downarrow$ 615↓ 16 $pp521\uparrow$ 521↑ 8	$nn620\uparrow$ 620↑ 14 $nn613\uparrow$ 624↓ 3	
2 ⁻	—	1,0	—	6,1	$nn725\downarrow$ 613↑ 47 $nn716\uparrow$ 615↓ 2	$pp633\uparrow$ 521↑ 12 $pp514\downarrow$ 651↑ 2	$nn725\uparrow$ 624↓ 10 $nn622\downarrow$ 761↓ 1	
1 ⁻	—	1,1	—	15,9	$nn725\uparrow$ 615↓ 43 $nn734\uparrow$ 613↑ 6	$nn622\downarrow$ 761↓ 8 $pp633\uparrow$ 512↑ 5	$nn620\uparrow$ 761↓ 6 $nn752\downarrow$ 620↑ 5	

Таблица 24

Двухквазичастичные и однофононные состояния ^{254}No

Двухквазичастичные протонные состояния				Двухквазичастичные нейтронные состояния					
Конфигурация	K^{π}	Энергия, $M\text{эв}$		Конфигурация	K^{π}	Энергия, $M\text{эв}$			
		опыт	расчет			опыт	расчет		
F 514↓	$F+1$ 624↑	8^- 1^-c	—	1,4	F 734↑	$F+1$ 613↑	1^-c 8^-	—	1,2
F 514↓	$F+2$ 521↓	3^+ 4^+	—	1,3	$F-1$ 624↓	$F+1$ 613↑	7^+ 0^+c	—	1,2
$F+1$ 624↓	$F+2$ 521↓	5^- 4^-	—	1,7	F 734↑	$F+2$ 620↑	4^- 5^-	—	1,4
F 514↓	$F+3$ 512↑	6^+ 1^+	—	1,8	$F-1$ 624↓	$F+2$ 620↑	4^+ 3^+	—	1,4
$F-1$ 521↑	$F+1$ 624↑	3^-c 6^-	—	1,9	F 734↑	$F+3$ 725↑	1^+ 10^+	—	1,6
$F-2$ 633↑	$F+1$ 624↑	1^+ 8^+	—	2,0	$F-1$ 624↓	F 734↑	8^- 4^-c	—	1,6
$F-1$ 521↑	$F+2$ 521↓	2^{+c} 1^+	—	2,0	$F-1$ 624↓	$F+3$ 725↑	9^- 2^-c	—	1,6

Однофононные состояния

K^{π}	Энергия, $M\text{эв}$		$B(E\lambda)_{\text{s.p.u.}}$		Структура, %			
	опыт	расчет	опыт	расчет	опыт	расчет	опыт	расчет
1^-	—	0,9	—	15,5	$nn734\uparrow$ 624↓ 25 $pp624\uparrow$ 514↓ 3	$nn734\uparrow$ 613↑ 21 $nn620\uparrow$ 770↑ 3	$pp633\uparrow$ 512↑ 4 $nn752\uparrow$ 622↓ 2	
0^+	—	1,0	—	2,2	$nn734\uparrow$ 734↑ 29 $pp514\downarrow$ 514↓ 7	$nn613\uparrow$ 613↑ 16 $nn725\uparrow$ 725↑ 4	$nn613\uparrow$ 624↓ 15 $pp521\downarrow$ 521↓ 3	
2^+	—	1,1	—	3,3	$nn624\downarrow$ 622↓ 41 $pp521\uparrow$ 521↓ 8	$nn622\downarrow$ 620↑ 16 $nn613\uparrow$ 611↑ 2	$nn622\uparrow$ 620↑ 16 $nn725\uparrow$ 743↑ 1	
0^-	—	1,3	—	11,0	$nn611\downarrow$ 501↓ 5 $nn602\downarrow$ 501↑ 5	$pp633\uparrow$ 514↓ 5 $nn600\uparrow$ 770↑ 4	$nn615\downarrow$ 734↑ 5 $nn624\downarrow$ 743↑ 4	
2^-	—	1,3	—	4,3	$nn725\uparrow$ 624↓ 38 $nn734\uparrow$ 622↑ 8	$nn725\uparrow$ 613↑ 18 $pp633\uparrow$ 521↑ 2	$pp624\uparrow$ 512↑ 9 $nn613\uparrow$ 761↑ 2	

Т а б л и ц а 25
Двухквазичастичные и однофононные состояния ^{260}Ku

Двухквазичастичные протонные состояния				Двухквазичастичные нейтронные состояния					
Конфигурация	K^{π}	Энергия, Мэв		Конфигурация	K^{π}	Энергия, Мэв			
		опыт	расчет			опыт	расчет		
F 624↑	$F+1$ 521↓	5-	—	1,4	F 620↑	$F+1$ 725↑	5-	—	1,2
$F-1$ 514↓	$F+1$ 521↓	3+	—	1,5	F 620↑	$F+2$ 622↓	2 ^{+c} 1 ⁺	—	1,2
F 624↑	$F+2$ 512↑	2 ^{-c} 7-	—	1,6	$F-1$ 613↑	$F+1$ 725↑	2 ^{-c} 9-	—	1,3
$F-1$ 514↓	F 624↑	8-	—	1,6	$F-1$ 613↑	F 620↑	3 ⁺ 4 ⁺	—	1,3
$F+1$ 521↓	$F+2$ 512↑	3 ⁺ 2 ^{+c}	—	1,7	$F-1$ 613↑	$F+2$ 622↓	5 ⁺ 2 ^{+c}	—	1,3
F 624↑	$F+3$ 615↑	1 ⁺ 10 ⁺	—	2,3	$F+1$ 725↑	$F+2$ 622↓	7- 4-	—	1,3
$F-2$ 521↑	$F+1$ 521↓	1 ⁺ 2 ^{+c}	—	2,3	F 620↑	$F+3$ 615↓	5 ⁺ 4 ⁺	—	1,7

Однофононные состояния

K^{π}	Энергия, Мэв		$B(E\lambda)_{s.p.u.}$		Структура, %								
	опыт	расчет	опыт	расчет	опыт	расчет	опыт	расчет					
2 ⁺	—	0,8	—	3,2	$nn622\downarrow$ $nn622\uparrow$	$620\uparrow$ $620\downarrow$	64 3	$nn624\downarrow$ $pp521\uparrow$	$622\downarrow$ $521\downarrow$	12 3	$nn613\uparrow$ $nn615\downarrow$	$611\uparrow$ $613\downarrow$	6 1
2 ⁻	—	0,9	—	7,3	$nn725\uparrow$ $nn716\uparrow$	$613\uparrow$ $615\downarrow$	42 2	$pp624\uparrow$ $nn611\uparrow$	$512\uparrow$ $770\uparrow$	17 1	$nn725\uparrow$ $nn622\downarrow$	$624\downarrow$ $761\downarrow$	10 1
0 ⁺	—	0,9	—	6,5	$nn615\downarrow$ $pp514\downarrow$	$615\downarrow$ $514\downarrow$	23 5	$nn620\uparrow$ $nn613\uparrow$	$620\uparrow$ $624\downarrow$	18 5	$pp521\downarrow$ $nn725\uparrow$	$521\downarrow$ $725\uparrow$	14 4
0 ⁻	—	1,00	—	13,2	$nn620\uparrow$ $nn602\downarrow$	$761\downarrow$ $501\uparrow$	10 5	$nn622\downarrow$ $nn600\uparrow$	$752\downarrow$ $770\uparrow$	6 4	$nn611\downarrow$ $pp400\uparrow$	$501\uparrow$ $510\uparrow$	5 4
1 ⁻	—	1,1	—	16,5	$nn725\uparrow$ $nn734\uparrow$	$615\downarrow$ $613\uparrow$	13 6	$nn622\downarrow$ $nn752\downarrow$	$761\downarrow$ $620\uparrow$	8 5	$nn620\uparrow$ $pp633\uparrow$	$761\downarrow$ $512\uparrow$	6 5

установлены. Расчеты неротационных состояний ^{248}Cm приведены в табл. 18.

В работе [82] наблюдались два возбужденных состояния ядра ^{248}Cf с энергиами 593 и 1477 кэв и с $K^\pi = 2^-$. В наших расчетах для ^{248}Cf (табл. 19) первые два состояния с $K^\pi = 2^-$ имеют энергии 0,7 и 1,4 Мэв.

В ядре ^{250}Cf с помощью β^- -распада ^{250}Bk установлено первое квадрупольное состояние с $K^\pi = 2^+$, $E = 1032$ кэв, на которое идет 89% распада. В работах [37, 83] в ^{250}Cf наблюдались октопольные состояния с $K^\pi = 1^-$, $E = 1175,5$ кэв и с $K^\pi = 2^-$, $E = 871,4$ кэв. Как видно из табл. 20, энергии этих состояний хорошо передаются в приводимых расчетах.

Исследовать возбужденные состояния ^{252}Cf с помощью β^- -распада невозможно, так как ядро ^{252}Bk экспериментально не наблюдается. Изучение спектра возбуждения ^{252}Cf проводилось в работе [84], где установлены уровни с $K^\pi = 2^+$, $E = 805$ кэв, с $K^\pi = 2^-$, $E = 831$ кэв, а также двухквазичастичное состояние с $K^\pi = 3^+$ $pp613 \uparrow 620 \uparrow$. Из табл. 21 видно, что эти состояния удается описать вполне удовлетворительно.

Экспериментальные данные об уровнях ядра ^{254}Fm получены лишь из β^- -распада изомера ^{254}Es ($T_{1/2} = 39,6$ ч). Помимо уровней ротационной полосы основного состояния хорошо видны (77% распада) два первых уровня полосы, построенной на квадрупольном состоянии с $K^\pi = 2^+$, $E = 693$ кэв. В расчетах неротационных состояний для ^{254}Fm (табл. 22) энергия этого состояния передается удовлетворительно.

Экспериментальных данных о возбужденных состояниях более тяжелых четно-четных изотопов фермия, а также четно-четных изотопов ядер с $Z = 102$ в настоящее время нет. Элемент с $Z = 104$ открыт группой Г. Н. Флёрова [85] и назван курчатовием. В табл. 23—25 приведены результаты расчетов однофононных и двухквазичастичных состояний ядер ^{256}Fm , ^{254}Rb , ^{260}Ku .

Недостаточность экспериментальных данных о состояниях в четно-четных изотопах тяжелых актиноидов (курция и транскуриевых элементов) не позволяет провести более широкое сравнение результатов наших расчетов с экспериментом, а также ограничивает возможность однозначного выбора параметров модели. Надеемся, что данная работа окажется полезной для дальнейшего всестороннего изучения ядер тяжелых актиноидов.

ЗАКЛЮЧЕНИЕ

В результате проведенных исследований можно сделать вывод о том, что сверхтекущая модель ядра позволяет хорошо описать свойства низколежащих неротационных состояний четно-четных ядер области актиноидов.

Структура нижайших возбужденных состояний оказывается сравнительно простой: в большинстве случаев они являются двухквазичастичными или однофононными возбуждениями. Многие из предсказанных ранее теорией двухквазичастичных состояний были впоследствии найдены экспериментально. Дальнейшее обнаружение таких состояний позволит уточнить параметры среднего поля и константы взаимодействия.

Однако в некоторых случаях (особенно это относится к ядрам переходной области) структура состояний является более сложной. При расчетах оказывается необходимым учитывать эффекты ангармоничности. Наиболее сложной оказалась структура 0^+ -состояний, нижайшее из которых может иногда содержать большую примесь двухфононной компоненты. Необходимо отметить, что при учете ангармоничности константы мультиполь-мультитопольного взаимодействия, при которых рассчитанные энергии совпадают с экспериментальными, приближаются к постоянным для каждой зоны.

Исследование состояний с большей энергией возбуждения ($\geq 2 M\text{эв}$) показывает, что их структура является еще более сложной. Наряду с эффектами ангармоничности требуется учитывать взаимодействие двухквазичастичных и вибрационных степеней свободы, а также взаимодействие внутреннего движения с ротационным. В настоящее время такие исследования находятся в начальной стадии.

Теоретическое описание ядер области актиноидов встречает дополнительные трудности, связанные с тем, что имеется недостаточно экспериментальной информации об этих ядрах. Однако в последние годы получены интересные результаты о свойствах ядер этой области при изучении ядерных реакций. Использование различных реакций позволяет выяснить более тонкие детали структуры ядра. Можно надеяться, что комплексное теоретическое и экспериментальное исследование ядер области актиноидов позволит выяснить основные характеристики ядерных уровней при промежуточных и высоких энергиях возбуждения.

В заключение выражаем нашу благодарность сотрудникам отдела теории ядра ЛТФ ОИЯИ за полезные замечания, а также Г. Кырчеву и Б. О. Нестеренко за помощь в работе и полезные обсуждения.

СПИСОК ЛИТЕРАТУРЫ

1. Джелепов Б. С., Пекер Л. К., Сергеев В. О. Схемы распада радиоактивных ядер с $A \geq 100$. М., Изд-во АН СССР, 1963.
2. Lederer C. M., Hollander J. M., Perlman I. Table Isotopes. Sixth Edition, John Wiley and Sons. N.Y., 1967.
3. Nuclear Level Schemes $A=45$ through $A=257$ from Nuclear Data Sheets, Academic Press. Inc., N. Y. and L., 1973; Ellis Y. A., Schmorak M. R. «Nucl. Data Sheets», 1972, v. 8, No 4.

4. Воинова И. А., Джелепов Б. С. Изобарные ядра с массовым числом $A=182$. М., «Наука», 1968.
5. Григорьев В. П., Соловьев В. Г. Структура четных деформированных ядер. М., «Наука», 1974.
6. Бор О., Моттельсон Б. Структура атомного ядра. Пер. с англ. М., «Мир», 1971.
7. Браун Дж. Единая теория ядерных моделей и сил. Пер. с англ. М., Атомиздат, 1970; Мигдал А. Б. Теория конечных ферми-систем и свойства атомных ядер. М., «Наука», 1965.
8. Соловьев В. Г. Теория сложных ядер. М., «Наука», 1971.
9. Gallagher C. J., Soloviev V. G. «Math. Fys. Skr. Dan. Vid. Selsk.», 1962, Bd 2, 2; Soloviev V. G. «Atomic Energy Rev.», 1965, v. 3, N. 2, p. 117.
10. Соловьев В. Г. ЖЭТФ, 1961, т. 40, с. 654; Вереш Т., Соловьев В. Г., Шиклштадт Т. «Изв. АН СССР. Сер. физ.», 1962, т. 26, с. 1045; Soloviev V. G., Vogel P. «Phys. Lett.», 1963, v. 6, p. 126; Soloviev V. G., Siklos T. «Nucl. Phys.», 1964, v. 59, p. 145; Лю Юань, Соловьев В. Г., Корнейчук А. А. ЖЭТФ, 1964, т. 47, с. 252; Соловьев В. Г., Фогель П., Корнейчук А. А. «Изв. АН СССР. Сер. физ.», 1964, т. 28, с. 1599; Malov L. A., Soloviev V. G., Vogel P. «Phys. Lett.», 1966, v. 22, p. 441.
11. Комов А. Л., Малов Л. А., Соловьев В. Г. Сообщение ОИЯИ Р4-5126, 1970; «Изв. АН СССР. Сер. физ.», 1971, т. 35, с. 1550; Иванова С. П., Комов А. Л., Малов Л. А., Соловьев В. Г. Препринт ОИЯИ Р4-8459, 1974; «Изв. АН СССР. Сер. физ.», 1975, т. 39, с. 1286.
12. Малов Л. А., Соловьев В. Г. «Ядерная физика», 1967, т. 5, с. 566; Комов А. Л., Малов Л. А., Соловьев В. Г. Сообщение ОИЯИ Р4-5693, 1971; Иванова С. П., Комов А. Л., Малов Л. А., Соловьев В. Г. «Изв. АН СССР. Сер. физ.», 1973, т. 37, с. 911; Иванова С. П., Комов А. Л., Малов Л. А., Соловьев В. Г. Препринт ОИЯИ Р4-8582, 1975; «Изв. АН СССР. Сер. физ.», 1975, т. 39, с. 1612.
13. Gareev F. A., Ivanova S. P., Malov L. A., Soloviev V. G. «Nucl. Phys. A», 1971, v. 171, p. 134.
14. Jolos R. V., Soloviev V. G., Zheleznova K. M. «Phys. Lett. B», 1967, v. 25, p. 393; Jolos R. V., Finer U. M., Soloviev V. G., Zheleznova K. M. «Phys. Lett. B», 1968, v. 27, p. 614.
15. Кырчев Г., Соловьев В. Г., Стоянов Ч. «Изв. АН СССР. Сер. физ.», 1975; препринт ОИЯИ Р4-8611, 1975.
16. Иванова С. П., Комов А. Л., Кырчев Г., Соловьев В. Г., Стоянов Ч. Тезисы XXVI совещания по ядерной спектроскопии и структуре ядра. Баку, 1976.
17. Ivanova S. P., Komov A. L., Kyrchev G., Soloviev V. G., Stojanov Ch. Preprint JINR E4-9010, 1975.
18. Soloviev V. G. «Nucl. Phys.», 1965, v. 69, p. 1.
19. Bohr A. Nuclear Structure, Dubna Symposium 1968, IAEA, Vienna, 1968, p. 179; Rasmussen J. O. Nuclear Structure, Dubna Symposium 1968, IAEA, Vienna, 1968, p. 169; Sorenson R. A. Nuclear Structure, Dubna Symposium 1968, IAEA, Vienna, 1968, p. 27; Belyaev S. T. Nuclear Structure, Dubna Symposium 1968, IAEA, Vienna, 1968, p. 155; Pyatov N. I. «Arkiv. Fys.», 1967, Bd 36, S. 667.
20. Kalinkin B. N., Grabovski Ya., Gareev F. A. «Acta Phys. Pol.», 1966, v. 30, p. 999; Gareev F. A., Ivanova S. P., Kalinkin B. N. «Acta Phys. Pol.», 1966, v. 30, p. 461; Гареев Ф. А., Иванова С. П., Калинкин Б. Н. «Изв. АН СССР. Сер. физ.», 1968, т. 33, с. 1690.
21. Гареев Ф. А., Иванова С. П., Соловьев В. Г., Федотов С. И. ЭЧАЯ; т. 4, вып. 2, с. 357.
22. Гареев Ф. А., Иванова С. П., Пашкевич В. В. «Ядерная физика», 1970, т. 2, с. 1200; препринт ОИЯИ Е4-4704, 1969; Иванова С. П., Комов А. Л., Ширикова Н. Ю. Сообщение ОИЯИ Р4-8406, 1974.

23. Bemis C. E. e. a. «Phys. Rev. C», 1973, v. 8, p. 1466.
24. Ford I. L. C. e. a. «Phys. Rev. Lett.», 1971, v. 27, p. 1232; McGowan F. K. e. a. «Phys. Rev. Lett.», 1971, v. 27, p. 1741.
25. Струтинский В. М. «Ядерная физика», 1966, т. 3, с. 614; «Nucl. Phys. A», 1967, v. 95, p. 420.
26. Newly N. P. «Phys. Rev.», 1962, v. 125, p. 2063; Пятов Н. И. «Изв. АН СССР. Сер. физ.», 1963, т. 27, с. 1436; Пятов Н. И., Чернышев А. С. «Изв. АН СССР. Сер. физ.», 1964, т. 28, с. 1173.
27. Arbman E. e. a. «Nucl. Phys.», 1960, v. 21, p. 406; Arnoux M. e. a. «Compt. Rend.», 1969, v. 169, p. 317; Herment M. e. a. «Compt. Rend.», 1971, v. 273, p. 804; ibid., p. 1053; Kurcewicz W. e. a. «J. Phys. (Paris)», 1973, v. 34, p. 159; Dalmasso J. e. a. «C. R. Acad. Sci.», Ser. B, 1974, v. 278, p. 97; Dalmasso J. e. a. «Compt. Rend.», 1971, v. 273, p. 509; ibid., p. 568.
28. Горбачев В. М., Замятин Ю. С., Йлбов А. А. Основные характеристики изотопов тяжелых элементов. Изд. 2-е. М., Атомиздат, 1975.
29. Else W., Huijzen J. R. «Nucl. Phys. A», 1972, v. 187, p. 545.
30. McGowan F. K. e. a. «Phys. Rev. C», 1974, v. 10, p. 1146.
31. Maher J. V. e. a. «Phys. Rev. C», 1972, v. 5, p. 1380.
32. Casten R. F. e. a. «Phys. Lett. B», 1972, v. 40, p. 333.
33. Back B. B. e. a. «Nucl. Phys. A», 1973, v. 217, p. 116.
34. McMurray W. R. e. a. «Z. Phys.», 1972, Bd 253, S. 289.
35. Stephens F. S., Asaro F., Perlman I. «Phys. Rev.», 1955, v. 100, p. 1543.
36. Yamazaki T. «Nucl. Data A», 1966, v. 1, p. 453.
37. Stephens F. S. e. a. «Phys. Rev. Lett.», 1965, v. 15, p. 420.
38. Bjørnholm S. e. a. «Nucl. Phys. A», 1968, v. 118, p. 261.
39. Neergard K., Vogel P. «Nucl. Phys.», 1970, v. 209, p. 217.
40. Bjørnholm S. e. a. «Nucl. Phys.», 1963, v. 42, p. 469.
41. Баранов С. А. и др. ЖЭТФ, 1961, т. 41, с. 1760.
42. Bell R. E. e. a. «Kgl. Dan. Vid. Selsk. Mat.-Fys. Medd.», 1960, Bd 32, No 12.
43. Varnell L. «Nucl. Phys. A», 1970, v. 144, p. 429.
44. Lederer C. M. Tesis, Univ. California, 1963; UCRL-11028, 1963.
45. Баранов С. А. и др. «Ядерная физика», 1967, т. 5, с. 241.
46. Bjørnholm A., Nielsen O. B. «Nucl. Phys.», 1963, v. 42, p. 642.
47. Wapstra A. H. «Nucl. Phys. A», 1967, v. 97, p. 641.
48. Wapstra A. H. «Physica», 1967, v. 37, p. 261.
49. Ardisson G., Ardisson C. «Compt. Rend.» Ser. B, 1975, v. 280, p. 377.
50. De Lange P. W. e. a. «Nuovo Cimento», 1959, v. 14, p. 681.
51. Ong Ping Hok. «Physica», 1956, v. 22, p. 465.
52. Hansen P. G. e. a. «Phys. Lett. B», 1967, v. 24, p. 95.
53. Leang C.-F. «Compt. Rend.», 1962, v. 255, p. 3155.
54. Баранов С. А. и др. «Ядерная физика», 1968, т. 7, с. 727.
55. Hyde E. K. e. a. The Nuclear Properties of the Heavy Elements. Vol. II, Prentice-Hall, Englewood Cliffs, New Jersey, 1964.
56. Bjørnholm S. e. a. «Phys. Rev.», 1963, v. 130, p. 2000.
57. Bjørnholm S. e. a. «Nucl. Phys. A», 1968, v. 118, p. 241.
58. Boyno J. S. e. a. «Nucl. Phys. A», 1973, v. 209, p. 125.
59. Trautmann N. e. a. Proc. Intern. Protactinium Conf. 3rd, Schloss Elmau, Germany, 1969, FRG.
60. Trautmann N. e. a. «Z. Nat. a», 1968, Bd 23, S. 2127.
61. Lederer C. M. e. a. «Nucl. Phys. A», 1969, v. 135, p. 36.
62. Баранов С. А. и др. ЖЭТФ, 1962, т. 43, с. 1135.
63. Backlin A. e. a. Lund. Proc. Intern. Symp. Neutron Capture Gamma-Ray Spectr., Studsvik, IAEA, 1969, p. 141.
64. Kane W. R. e. a. «Phys. Rev. Lett.», 1970, v. 25, p. 953.
65. Boyno J. S. e. a. «Bull. Amer. Phys. Soc.», 1972, v. 17, p. 463.
66. Katori K. e. a. «Phys. Rev. C», 1973, v. 8, p. 2336.

67. Баранов С. А. и др. «Ядерная физика», 1965, т. 1, с. 557.
68. Stephens F. S. e. a. Coulomb Excitation. Alder K., Winter W. Academic Press, N. Y., 1966, p. 208.
69. Diamond R. M., Stephens F. S. «Arkiv Fys.», 1967, Bd 36, S. 221.
70. Smith A. B. «Nucl. Phys.», 1963, v. 47, p. 633.
71. Barnard E. a. e. «Nucl. Phys.», 1966, v. 80, p. 46.
72. Фергюсон А. Т. Дж. «Изв. АН СССР. Сер. физ.», 1967, т. 31, с. 74.
73. Fridman A. M. e. a. «Phys. Rev. C», 1974, v. 9, p. 760.
74. Borggreen J., e. a. «Nucl. Phys.», 1962, v. 29, p. 515.
75. Glass R. A. e. a. «J. Inorg. Nuclear Chem.», 1960, v. 13, p. 181.
76. Джелепов Б. С. и др. ЖЭТФ, 1963, т. 45, с. 1360.
77. Баранов С. А. и др. «Ядерная физика», 1966, т. 4, с. 1108.
78. Баранов С. А. и др. «Ядерная физика», 1969, т. 10, с. 1110.
79. Schmorak M. R. e. a. «Phys. Rev. Lett.», 1970, v. 24, p. 1507.
80. Билибин Л. П. и др. «Изв. АН СССР. Сер. физ.», 1966, т. 30, с. 217.
81. Schmorak M. R. e. a. «Phys. Rev. Lett.», 1970, v. 24, p. 1507.
82. Yates S. W. e. a. «Bull. Amer. Phys. Soc.», 1975, v. 20, p. 97.
83. Meyer R. A. e. a. «Bull. Amer. Phys. Soc.», 1972, v. 17, p. 464.
84. Fields P. R. e. a. «Nucl. Phys. A», 1973, v. 208, p. 269.
85. Флеров Г. Н. и др. «Атомная энергия», 1964, т. 17, с. 310.